

ЕЖЕМЕСЯЧНЫЙ
НАУЧНО-
ТЕХНИЧЕСКИЙ
И ПРОИЗВОДСТВЕННЫЙ
ЖУРНАЛ

Строительные материалы

№ 1

(421)

январь

1990

Издается с января 1955 г.

ОРГАН ГОСУДАРСТВЕННОЙ АССОЦИАЦИИ ПРОМЫШЛЕННОСТИ СТРОИТЕЛЬНЫХ МАТЕРИАЛОВ, НАУЧНО ТЕХНИЧЕСКОГО ЦЕНТРА ПРОМЫШЛЕННОСТИ СТРОИТЕЛЬНЫХ МАТЕРИАЛОВ (СТРОМНИИПОЦЕНТРА)

Содержание

ЭФФЕКТИВНО ИСПОЛЬЗОВАТЬ ПРОИЗВОДСТВЕННУЮ БАЗУ

МАКОТИНСКИЙ М. П. Поливинилхлоридные плитки для полов (К вопросу о разработке и производстве адресных отделочных материалов с заданными свойствами) 2

СОВЕРШЕНСТВОВАНИЕ ТЕХНОЛОГИИ И ОРГАНИЗАЦИИ ПРОИЗВОДСТВА

ХОСОЛАПОВ А. И., ВОЛЧЕНКО Н. И. Определение параметров технологии добчи блоков израмора невзрывчатым разрушающим средством 5

ЛОРТКИПАНИДЗЕ В. Д., МИХЕЛЬСОН Р. В., ЭЛИЗБАРАШВИЛИ Т. Ш., ЛОБЖАНИДЗЕ Б. П. Оценка эффективности вариантов взрывной технологии подготовки базальтовых блоков 7

УСАЧЕНКО Б. М., ПЕРЕПЕЛИЦА В. Г. Опыт отработки тектонически нарушенных участков месторождения гипса 8

МЕЛКОЗЕРОВ В. М., НЕМЦЕВА Т. И. Защита поверхностей пылящих материалов полимерной пленкой 10

ЭКОЛОГИЯ И ПРОМЫШЛЕННОЕ ПРЕДПРИЯТИЕ

ДОЦЕНКО А. А., СКОВЕЛЬСКИЙ Б. Н., ЮРЬЕВА Г. Х. Автоматизированная система научно-технической информации по охране труда и защите окружающей среды в промышленности строительных материалов 12

ТРАНСПОРТНЫЕ ПЕРЕВОЗКИ МАТЕРИАЛОВ

СТАРЧЕНКО Г. Г. Предотвращение смерзания песка в железнодорожных вагонах 14

НОВЫЕ И УЛУЧШЕННЫЕ МАТЕРИАЛЫ

МЕРКИН А. П., ВИТЕЛЬС Л. З., ЮРМАНОВ С. А., ПЕТРОЧЕНКОВ Р. Г. Композиционные ПВХ-олигомерные материалы, имитирующие природный камень 16

ТРУБНИКОВ И. Л., ЛУПЕЙКО Т. Г., АВТУШЕНКО Н. А., ТАЛЛА Б. В. Получение крупного вспученного термалитового гравия 17

КИСЕЛЕВ А. А., МЕЖОГСКИХ М. И., ПАХОМОВ А. Л. Прочностные и деформационные свойства напорных асбестоцементных труб при попечечном изгибе 19

ЕВСЕЕВ Ю. Е., СЕРКОВ Б. Л. Переплаты окон из материалов на основе поливинилхлорида 20

РЕЗУЛЬТАТЫ НАУЧНЫХ ИССЛЕДОВАНИЙ

САДУАКАСОВ М. С. Влияние $\text{CaSO}_4 \cdot 2\text{H}_2\text{O}$ на структурообразование и прочность пеногипса 22

ПАВЛИХИНА Е. Ф., ЕФРЕМОВА Л. Н., ДИМАКОВА Л. Х., ВЕРЕЩАГИНА Л. С. Особенности использования технических лигносульфонатов в производстве керамзитового гравия 24

ПАК Н. В. Теллонпроводность шлакобетона 25

ЛАРГИНА О. И., БОРИСЮК Е. А., КАГАН М. З., ВОЛЧЕНКОВ М. Г., КЛИБАНОВ А. Д. Возможность использования многокомпонентных цементов в строении 27

ИНФОРМАЦИЯ

На пленуме Центрального правления ВХО им. Д. И. Менделеева 28



МОСКВА
СТРОИЗДАТ

© Стройиздат, журнал «Строительные материалы», 1990

Эффективно использовать производственную базу

УДК 678.7.68.026

М. П. МАКОТИНСКИЙ, канд. архитектуры (ВНИИстройполимер)

Поливинилхлоридные плитки для полов

(К вопросу о разработке и производстве адресных отделочных материалов с заданными свойствами)

Два года назад в журнале «Строительные материалы» в рубрике «Вопросы повышения качества продукции» была опубликована статья о полимерных материалах для покрытия полов (№ 1, 1988 г.). За это время увеличился объем производства ПВХ линолеума, разработаны новые виды материалов для покрытия полов в зданиях массового строительства. Однако рулонные материалы из-за сравнительно небольшой долговечности могут быть рекомендованы преимущественно для помещений со слабым износом: в основном в жилых комнатах, суммарная площадь которых является наибольшей как в эксплуатируемых зданиях, так и в новом строительстве. В связи с этим целесообразно дальнейшее расширение производства эффективных видов рулонных материалов из ПВХ линолеума со вспененным термозвукозаливающим слоем, имеющих ряд технологических и эксплуатационных преимуществ перед обычным.

В общественных зданиях полы, как правило, подвергаются значительно более интенсивному износу, чем в жилых домах. Поэтому в них не следует применять линолеум. Более высокие качества полов, чем из рулонных материалов, могут обеспечить ПВХ плитки благодаря простоте технологии, конструктивным особенностям и свойствам. Эксплуатационные качества ПВХ плиток в значительной степени удовлетворяют требованиям, предъявляемым к покрытиям полов во многих общественных и некоторых промышленных зданиях. Этим продиктована необходимость увеличения производства ПВХ плиток, разработки и поставки их на производство.

Прежде чем приступить к разработке новых видов материалов и к развитию производства уже выпускаемых должны быть определены области их применения. В полной мере это относится и к ПВХ плиткам для покрытия полов, которые в зависимости от их конкретного назначения будут иметь разные конструкцию и свойства. В этой связи следует перейти к более высокой ступени разработки и постановки на производство новых адресных материалов (в данном случае ПВХ плиток), которые бы имели заявленные свойства, соответствующие предъявляемым к ним требованиям, зависящие в свою очередь от эксплуатационных режимов помещений.

В зарубежных странах ПВХ плитки широко используют для покрытия полов в торговых залах, гостиницах, администра-

тивных помещениях, вестибюлях и на лестничных площадках жилых зданий, в учебных и лечебных учреждениях, в зрительных залах и фойе театров и кинотеатров, в некоторых производственных зданиях и других помещениях, где требуется относительно высокая стойкость покрытий полов к истиранию. Целесообразно укладывать именно ПВХ плитки в небольших и сложных в плане помещениях, в которых прирезка рулонных материалов по периметру истыковка в проемах более трудоемка.

Используя плитки в качестве покрытия, получаем многообразные декоративные решения, в случае необходимости легче производить выборочный ремонт пола.

В последние годы за рубежом возрос выпуск плиток полихромных крапчатых или мраморовидных взамен одноцветных (главным образом светлых и темных тонов), на которых особенно видны следы пыли и грязи. В основном плитки выпускают в той же цветовой, хотя более интенсивной, гамме, что и рулонные покрытия, а также с вкраплениями другого цвета.

Многообразны цвета одноцветных плиток: белый (молочный), желтый, желто-лимонный, красный, терракотовый, светло-серый, голубой, синий, зеленый, бирюзовый, коричневый, черный и др. Получение многоцветных плиток основывается на использовании тех же красок.

Плитки квадратные изготавливают различных размеров: 250×250, 300×300, 333×333, 500×500, 600×600 мм. Наиболее распространенный размер — 300×300 мм. Бывают они и иной формы, например, трапециевидной или квадратной в сочетании с прямоугольной и треугольной. Поверхность плиток бывает не только гладкой, но и рельефной рисунчатой.

В пятидесятых годах применяли только однослоистые износостойкие плитки. Любопытен факт, приведенный в журнале «Баингинг материалы» (№ 6, 1981 г.). На Всемирной выставке в Брюсселе в 1958 г. в проходах между стенками английского павильона был настелен пол из ПВХ плиток, по которому за 6 мес прошли около 5 млн. человек. После закрытия выставки плитки были аккуратно сняты и проданы.

Сегодня большинство фирм выпускают двухслойные и трехслойные ПВХ плитки с верхним твердым цветным (или рисунчатым) слоем и нижним или сред-

ним теплозвукозаливающим слоем. Некоторые фирмы выпускают такие плитки с kleem на тыльной стороне. Перед укладкой их погружают в горячую воду (не более чем на 10 с), затем из них удаляют воду путем встряхивания, а после укладки моют безмытым моющим средством и натирают воском.

Трехслойные плитки размером 330×330, толщиной 2 мм с kleem на тыльной стороне выпускает японская фирма «Сакайко rubber». Лицевой слой, очень стойкий к износу, имеет толщину всего 0,3 мм, нижний — 0,2 мм и средний (термозвукозаливающий) — 1,5 мм.

На тыльную сторону плиток в процессе производства наносят kleящее вещество и бумагу. Такие плитки не нужно смачивать водой. Перед укладкой защитную бумагу (без смачивания) легко снимают и плитки прочно приклеиваются к основанию пола.

В Японии, по данным журнала «Модерн пластика» (№ 1, 1985), для изготовления ПВХ плиток расходуется около 60 тыс. т поливинилхлорида, что соответствует выпуску примерно 60 млн. м² плитки.

В США только фирма «Амстронг» выпускает около 20 млн. м² ПВХ плитки в год с износостойким слоем, включающим виниловую крошку. Фирма выпускает также литьевые плитки с большим содержанием мраморной крошки. Их укладываются в помещениях с интенсивным износом полов (в банках, магазинах, театрах, на вокзалах).

Однослоистые и многослойные ПВХ плитки размером 600×600 мм и толщиной от 2 до 7 мм с особо твердым наполнителем из кварца или корунда производит шведская фирма «Таркетт». Продукция характеризуется высокой стойкостью к истиранию, несоколзкостью, стабильностью размеров, водостойкостью и химической стойкостью.

Различных видов ПВХ плитки под фирменными названиями «Коломбус», «Оптима», «Солид» и «Таркетт» живофлор выпускает фирма «Таркетт». Плитки «Оптима» — однослоистые, толщиной 2 мм бывают 24 цветов. Однослоистые плитки «Солид» толщиной 2 мм и двухслойные — толщиной 3,5 мм имеют нижний слой из пенополивинилхлорида.

«Таркетт живофлор» состоит из 2-килограммового износостойкого лицевого слоя и нижнего слоя из пенополивинилхлорида толщиной 3,5 мм. Общая толщина 5,5 мм.

Плитки «Коломбус» двухслойные ан-

ти (© Макотинский М. П., 1990

тиститические. Верхний износостойкий слой и нижний — проводящий электрически, имеют толщину по 1 мм.

Заслуживающая фирма «Дипломат Нобель» поставляет строителям 12 видов ПВХ плиток типа «Миниум». Каждый вид соответствует конкретной области применения. Более тонкие плитки (толщина 1,5 мм) укладываются в помещениях с малоинтенсивным движением. Плитки толщиной 2; 2,4 и 3 мм предназначены для полов общественных зданий с различной интенсивностью движения (слабой, средней и сильной). Всё плитки — одноглавые. Частота их толщины — это лицевой слой износа, гарантирующий достаточный срок службы материала. Разнообразие плитки как по внешнему виду, так и размеру: от 300×300 до 1200×600 мм.

Эта же фирма производит плитки «Милолам - 800 дизайн» повышенной аскоративности, для которых разработано три фризамиента различных цветовых схем. Рисунок и цвет проходят сквозь всю толщину плитки. Есть плитки с текстурой гравертина и гранулированной (с вкраплениями).

Другая фирма ФРГ выпускает ПВХ плитки для полов под названием «Колорекс». Изготавливают их прессовым способом в формах при высоком давлении. Отличаются плитки односторонней, плотной, закрытой поверхностью, высоким сопротивлением вдавливанию, износостойкостью, устойчивостью к воздействию химикатов и пепломагнитностью. Рекомендуется она для помещений с интенсивным движением.

Для покрытия полов в школах и больницах применяют плитки «Колорекс-2000». Плитки «Колорекс-4000» и «Колорекс-5000» обладают антистатическими свойствами. Их укладывают в помещениях из взрывобезопасной средой (в лабораториях, операционных), также в тех, в которых расположены высокочувствительные приборы (ЭВМ и др.).

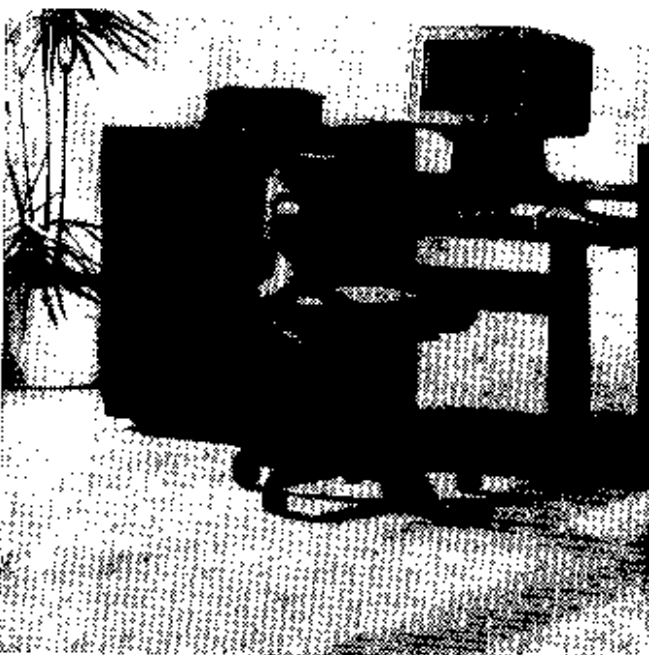
Весьма широкий ассортимент плиток из ПВХ выпускают во Франции фирмы «Жирфлекс» и «БАТ-тармекс». Размеры настелки — 300×300 и 500×500 мм. Число схем — от 1 до 4. Общая толщина — от 2 до 6,5 мм. Толщина лицевого слоя пакетированная — 0,5, наибольшая — 2,5 мм. Лицевая поверхность может быть однотонной, с рисунком или мраморизацией. Подоснова плиток — из наполненного ПВХ, пробковая или из пенополиуретана. Масса 1 м² плиток от 2,225 до 7,1 кг.

Образцы французских плиток испытывали во ВНИИПстройизолере. Некоторые из них выдержали 8 из 100000 циклов циклической изнашивания. Толщина износа — 34 мкм, а остаточная деформация — от 0,04 до 0,21 мм. Такой диапазон и характеристиках позволяет четко дифференцировать продукцию по функциональной адресности (функциональному назначению) в зависимости от эксплуатационного режима в помещениях жилых, общественных и производственных зданий.

Для специальных помещений предполагаются плитки с антистатическими свойствами и устойчивыми к радиоактивному излучению. Антистатические плитки под наименованием «Миниум 620-630» и «Миниум 480 СБ» выпускает фирма «Дипломат Нобель», в плитках устойчивые к радиоактивному излучению — «Терракот стандарт СТ 32», изготовленная фирмой



Однослойные и многослойные ПВХ плитки с различной толщиной слоя износа и различными сопротивлениями изнашиванию применяются для покрытия полов промышленных, учебных, научных, административных, общественных зданий, и детских садов, школах, лечебных учреждениях, в помещениях зданий, вокзалов, аэропортов, и театрах и др. Такие полы отличаются более высокими качествами, чем с лакокрасочными покрытием.



ма «БАТ-тарафлекс».

В Финляндии 4 вида однослойных ПВХ плиток для полов: «Финфлекс», «Лустра», «Хови» и «Кимара» выпускает фирма «Нокна».

Виниласбестовые плитки «Финфлекс» (размером 250×250 мм и толщиной 2 и 2,5 мм) предназначены для помещений со средней степенью изнашивания полов — в гостиницах, пансионатах, больницах, поликлиниках, в учреждениях, школах и библиотеках. Плитки однотонные широкой гаммы цветов. Масса 1 м² плиток — 4,35 и 5,45 кг.

Малонаполненные ПВХ плитки «Лустра» характеризуются значительной износостойкостью, поэтому могут быть использованы в помещениях с большой интенсивностью движения — магазинах, предприятиях общественного питания и др. Плитки «Лустра» можно сваривать, поэтому из них выполняют, в частности, водостойкие покрытия. Фирма производит также антистатические плитки, однотонные (разных цветов) и мраморо-видные. Размер плиток — 600×600 мм, толщина — 2 мм, масса 1 м² — 3,3 кг.

Прессованные кварцево-вибропластовые плитки «Кимара» и «Хови» отличаются высоким сопротивлением к истиранию. Они рекомендуются для применения в помещениях с сильным изнашиванием пола — универсмагах, кинотеатрах, столовых, вокзалах, а также в производственных и складских помещениях. Размеры плиток — 300×300 мм, толщина — 2 и 2,6 мм. Масса 1 м² — 4 и 4,9 кг. Плитки «Хови» выпускают однотонные широкой гаммы цветов, а «Кимара» — также и с крапчатым рисунком.

Вся названная продукция фирмы «Нокна» по показателю износостойкости может применяться в помещениях судов без ограничений. Фирма обращает внимание на необходимость соблюдения правил применения плиток и ухода за готовым покрытием. Плитки рекомендуется приклеивать kleem на основе акрила. Основание должно быть сухим и гладким. Прокатка катком происходит, когда klei еще не высох. Вес катка 50—70 кг. Эксплуатация пола допускается после полного высыхания kleя. При загрязнении покрытие пола моют щелочным раствором. На чистый и сухой пол насыпают водяной воск.

Норвежская фирма «Риебер ет Сон А/С» в сотрудничестве с финской фирмой «Конверта» производят ПВХ плитки «Рикетт» для покрытия полов. Продукция фирмы экспортируется во многие страны.

Основным сырьем для плиток «Рикетт» служат поливинилхлорид и кварцевый песок. Последний придает изделиям высокое сопротивление истиранию. Кроме того, они стойки к резкому колебанию температур, к действию кислот и большинства химикатов. Размеры плиток — 300×300 и 600×600 мм, толщина — 1,6; 2; 2,5 и 3,2 мм.

Фирма информирует о достаточно четкой адресности плиток «Рикетт» в зависимости от их толщины. Плитки толщиной 1,6 мм укладываются в жилых и подсобных помещениях квартир, отелей и пансионатов (I категория — слабый износ); толщиной в 2 и 2,5 мм — в корто-рах, банках, больницах, школах, институтах и т. д. (II категория — средний износ); толщиной 3,2 мм — в универсалах, аэропортах, вокзалах, на заводах,

крытых рынках и др. (III и IV категории помещений — сильный и очень сильный износ).

У нас в стране плитки для полов производят преимущественно однослойными (ГОСТ 16475—81) размером 300×300 мм, толщиной 1,5; 2 и 2,5 мм, одноцветными разных цветов. Выпускают также вырубные плитки из однослойного и многослойного линолеумов (по ГОСТ 14632—79) толщиной 1,5—2,1 мм и размером 300×300 мм.

Объем производства ПВХ плиток за последние несколько лет остается на одном уровне и составляет 10—11 млн. м² в год. Плитки выпускают 23 предприятия, из которых наиболее крупными являются 4 завода, производящие около 6 млн. м² в год.

Многолетние наблюдения за поведением полов из однослойных ПВХ плиток показывают, что они вполне удовлетворительно служат (значительно дольше, чем линолеум) в течение межремонтных сроков в помещениях с незначительным и средним износом (категории I и II). Практика эксплуатации пола из таких плиток в помещениях II категории по износу (прихожие и кухни квартир) показала, что за 25 лет они истерлись в местах наиболее интенсивного движения только на 25—30% толщины.

Следует отметить, что контрольные испытания однослойных ПВХ плиток отечественного производства во многих случаях показывают более высокое качество изделий по показателям истираемости и усадки, чем регламентируемые стандартом. По долговечности (сроку службы) (по показателю истираемости) плитки значительно превосходят многие виды линолеума. Однако в случае неправильного применения плиток, при нарушении технологии их приклейки, при неудовлетворительном основании и клее верхнее покрытие пола быстро выходит из строя.

Применительно к установленной классификации помещений жилых, общественных и промышленных зданий по интенсивности износа пола целесообразно разрабатывать и выпускать (с учетом изложенного выше зарубежного и отечественного опыта) адресные ПВХ плитки для различных категорий помещений, с условием долговечности покрытия, равной межремонтным срокам. Этот срок для разных типов зданий колеблется от 10 до 25 лет.

Зарубежная практика показала, что однослойные и многослойные ПВХ плитки с различной толщиной слоя износа и разным сопротивлением истиранию могут применяться для покрытия полов в помещениях всех категорий по интенсивности износа. Чтобы продукция имела адресность (конкретную область применения), она должна разрабатываться с заданными свойствами, выпускаться опытными партиями и испытываться на долговечность. Лишь после этого определяется и записывается в нормативный документ назначение продукции для той или иной категории помещений по интенсивности износа.

При расчетах долговечности ПВХ плиток допускаемую глубину истирания для однослойных плиток целесообразно принять равной 50% их толщины, а для многослойных равной толщине лицевого слоя.

В настоящее время объем производства ПВХ плиток для полов составляет у нас около 10% от общего объема выпуска ПВХ материалов этого назначения. В связи с необходимостью расширить область применения адресных плиток разной конструкции (в том числе с теплозвукозоляющим слоем) с лицевым слоем различной толщины и сопротивляемостью износу представляется целесообразным увеличить на перспективу долю производства ПВХ плиток до 20% от общего объема ПВХ материалов для полов. Это значит — достичь к концу столетия при условии организации производства новых видов плиток различного назначения 30—35 млн. м² их выпуска в год. Этот общий объем адресных ПВХ плиток для полов может быть ориентировано распределен по следующим функциональным назначениям (в процентах общего объема):

для кухонь, коридоров и прихожих квартир с «теплыми» полами II категории по степени износа (средний износ) — 25%;

для детских и лечебных учреждений с «теплыми» полами II категории по степени износа (средний износ) — 15%;

для учебных, научных, административных, гостиничных и других зданий с полами II категории по степени износа (средний износ) — 15%;

для магазинов, вокзалов, аэропортов, театров, кинотеатров, банков и др. с полами III и IV категории по степени износа (сильный и очень сильный износ) — 25%;

для промышленных зданий с полами III и IV категории по степени износа (сильный и очень сильный износ) — 10%;

для розничной продажи через торговую сеть, для текущего ремонта полов (в том числе «теплых») II и III категорий по степени износа (средний и сильный износ) — 10%.

Нужны плитки однослойные и многослойные, с лицевым слоем различной толщины и износостойкости, с теплозвукозоляющим слоем, а также с клеевым слоем (плитки без клеевого слоя должны поставляться вместе с kleem).

На основании предложенного адресного распределения ПВХ плиток можно заключить, что 60% общего их количества отнесены по степени их износа к помещениям II категории (средний износ). Из них 40% должны быть с теплозвукозоляющим слоем, в том числе 15% — повышенной ядовитостью; 20% плиток для помещений со средним износом полов могут быть однослойными, 40% общего объема производства плиток отнесены по степени износа к помещениям III и IV категорий (сильный и очень сильный износ). Эти плитки могут быть однослойными и многослойными с повышенной износостойкостью лицевого слоя. Исходя из этого, определяется ориентировочная потребность в производстве каждого вида плитки по конструкции и ассортименту.

УДК 622.365.3.001.24.4

А. И. КОСОЛАПОВ, канд. техн. наук, Н. И. ВОЛЧЕНКО, горный инженер
(Красноярский институт цветных металлов им. М. И. Калинина)

Определение параметров технологии добычи блоков мрамора невзрывчатым разрушающим средством

Применение невзрывчатых разрушающих средств типа НРС-1 позволяет значительно повысить эффективность отработки месторождений мрамора высокой прочности. На таких месторождениях НРС обычно используют в сочетании с различными типами камнерезных машин. Последними выполняются профили, плоскости которых совпадают с направлением наименее трудного раскола мрамора, а с помощью НРС осуществляют отделение мрамора по плоскостям наилучшего раскола.

Технико-экономические показатели такой технологии зависят от расхода бурения и НРС, которые, в свою очередь, связаны с расстоянием между шпурами,

$$R_b = K_1/a; \quad (1)$$

$$R_h = \varphi R_b. \quad (2)$$

где R_b и R_h — удельный расход бурения и НРС соответственно, м/ m^2 и кг/ m^2 ; $K_1 = 0.9$ — отношение глубины шпура к высоте раскола; a — расстояние между центрами шпуром, м; φ — вместимость шпура, кг/м.

Известно, что расстояние между шпурами обусловлено прочностью мрамора, величиной давления НРС на стеки шпура и временем действия нагрузки. Аналитическое выражение, связывающее перечисленные параметры, можно получить, рассматривая процесс направляемого разрушения в соответствии со второй теорией прочности хрупких материалов, согласно которой разрушение материала происходит при выполнении следующего условия

$$\sigma_1 - \mu (\sigma_2 + \sigma_3) \geq \sigma_p, \quad (3)$$

где $\sigma_1, \sigma_2, \sigma_3$ — главные нормальные напряжения, возникающие в мраморе в результате давления НРС на стеки шпура, МПа; μ — коэффициент Пуассона; σ_p — предел прочности породы при растяжении, МПа.

Для задачи, когда $\sigma_3 = 0$, справедливо

$$\sigma_1 - \mu \sigma_2 \geq \sigma_p. \quad (4)$$

Напряжения $|\sigma_1| \dots |\sigma_2|$ и их можно определить по общепринятой формуле Ламе, используемой для расчета прочности бесконечно толстостенного цилиндра

$$\sigma_{1,2} = p \frac{r^2}{R^2}, \quad (5)$$

где p — давление НРС на стеки шпура, МПа; r — радиус шпура, м; R —

наименьшее расстояние от центра шпура до рассматриваемой точки массива, м.

Поскольку разрушение происходит в результате совместного действия двух зарядов НРС, то при $R = 0.5$ a получаем

$$p \frac{2r^2}{0.25a^2} (1 - \mu) = \sigma_p. \quad (6)$$

Решая уравнение (6) относительно a , получаем выражение для расчета расстояний между шпурами

$$a = 2r \sqrt{\frac{2p(1 - \mu)}{\sigma_p}}. \quad (7)$$

Для учета влияния времени нагружения на эффективность процесса разрушения можно в формулу (7) ввести ко-

эффициент короткой оси эллипса ядра разрушения). Следовательно, при расколе с помощью НРС перпендикулярно к направлению облегченного раскола фактор времени не оказывает существенного влияния на расстояние между шпурами.

Для проверки данной гипотезы были проведены промышленные и лабораторные эксперименты по направлению разрушению НРС мрамора Кыбик-Кордонского месторождения. Предварительно установили взаимосвязь между коэффициентом крепости f по шкале М. М. Протодьяконова и пределом прочности мрамора при растяжении (рис. 2). Для этого из керна разведочных скважин изготовили цилиндрические образцы, которые испытывали на растяжение, затем уже разрушенные образцы дроби-

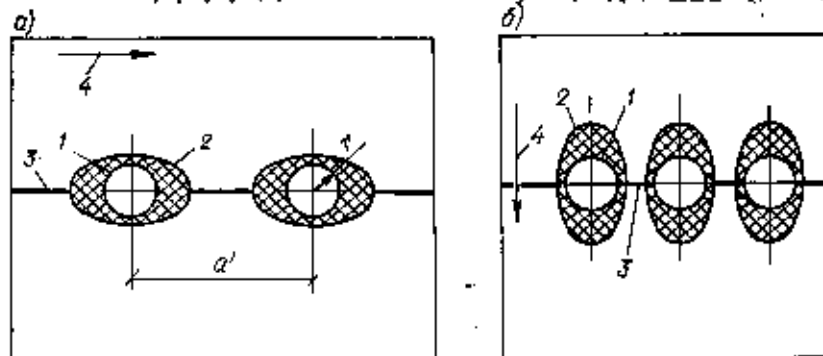


Рис. 1. Схемы направленного раскола мрамора невзрывчатым разрушающим средством: 1 — скважина; 2 — ядро разрушения; 3 — магистральные трещины; 4 — простирающиеся плоскости облегченного раскола

эффективитет, учитывающий изменение прочности во времени. При разрушении изотропных пород зона нарушения камня вокруг шпура имеет форму круга, а анизотропных — форму эллипса, длина оси которого совпадает с направлением облегченного раскола (рис. 1, a). Исходя из этого, можно предположить, что при расположении шпуром в плоскости, параллельной направлению облегченного раскола (рис. 1, a), первоначально образуется ядро разрушения в виде эллипса, затем от него в результате раскалывающих нагрузок развиваются магистральные трещины.

В противном случае (рис. 1, b) разрушение между шпурами ограничивается в основном двумя радиусами зон нарушения, для которых справедливо выражение (4), и незначительной протяженностью магистральных трещин (расстояние между шпуром приближенно рав-

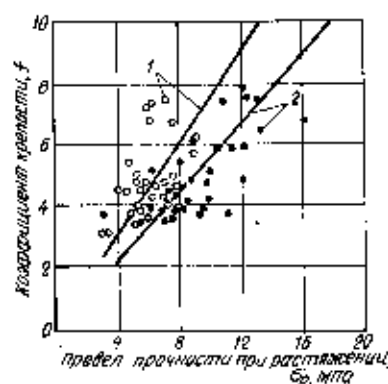


Рис. 2. Зависимость между коэффициентом крепости по шкале М. М. Протодьяконова и пределом прочности мрамора при растяжении 1 — параллельное направление облегченного раскола; 2 — перпендикулярно направлению облегченного раскола

Таблица 3

Время нагруж- ения, ч	Расстояние между шпурами, см		Коэффициент направленности нагружения	Число опытов	$\frac{\Delta^*}{t}$	Примечания
	фактическое	расчетное				

I. Поверхность разрушения параллельна направлению облегченного раскола ($r=0,5$ см; $p=10,3$ МПа; $\sigma_p=6,11$ МПа; $\mu=0,25$)

19	6	2,1	2,8	3	0,6	
22	7	2,1	3,9	4	1,2	
26	8,1	2,1	4	3	3,2	
73	11,5	2,1	4,8	9	0,8	
129	13,5	2,1	6,6	4	1	
350	22	2,1	10,7	5	1,4	

II. Поверхность разрушения перпендикулярна направлению облегченного раскола ($r=0,6$ см; $p=10,3$ МПа; $\sigma_p=6,2$ МПа; $\mu=0,25$)

8,2	2,5	1,7	1,4	5	2,2	
9,5	2,9	1,7	1,7	3	3,1	
10	3	1,7	1,5	3	2,2	
21,8	3,6	1,7	2,1	4	3,6	
33	4,6	1,7	—	4	—	
8	4,9	1,7	—	4	—	

* Δ — среднее отклонение рельефа поверхности разрушения от плоскости, см.

Таблица 2

Время, ч	Расстояние между шпу- рами, см		Коэффициент направленности нагружения	Число опытов	$\frac{\Delta^*}{t}$	Примечания
	фактическое	расчетное				

I. Поверхность разрушения параллельна направлению облегченного раскола ($r=2,15$ см; $p=30$ МПа; $\sigma_p=6,11$; $\mu=0,25$)

30	36	15,1	2,4	5	0,8	
13	20	15,1	1,3	3	1,1	
29	50	15,1	9,3	4	1,3	
120	69,6	15,1	4,13	2	1,4	

II. Поверхность разрушения перпендикулярна направлению облегченного раскола ($r=2,15$ см; $p=30$ МПа; $\sigma_p=6,2$ МПа; $\mu=0,25$)

17	15	12,3	1,2	3	2,3	
20	16	12,3	1,3	2	2,7	
50	26	19,3	2	4	3,2	
72	28	12,3	2,3	5	3,6	

* Δ — среднее отклонение рельефа поверхности разрушения от плоскости, см.

ли в приборе определения крепости для определения коэффициента крепости. Полученная зависимость (см. рис. 2) позволила в дальнейшем предел прочности при растяжении установить косвенным методом по величине коэффициента крепости f .

Лабораторные эксперименты выполнены на образцах мрамора, размеры которых устанавливали в соответствии с масштабом сил, действующих в натуральных и лабораторных условиях. В данном случае высота монолитов составляла 13–18 см, а ширина и длина соответственно не менее 13 и 25 см. Для оценки разницы между фактическим и расчетным расстоянием между шпурами

Поверхность разрушения относительно направления облегченного раскола	предел прочности при разрушении мрамора, МПа	диаметр шпуре, м	давление НРС в шпуре, МПа	эмпирические коэффициенты		расстояние между шпурами, см	удельный расход	объем затраты, р./м ³	
				$K(t)_1$	K_0				
I. Параллельно	6,1	0,043	30	16 24 72 120	$-4,5 + \frac{1}{18,9 t}$ $+6,95$ $1g t$	1,2	0,15 0,21 0,38 0,6 0,7	4,3 8,2 15,5 3,9 9,4	11,2 7,4 4,7 11,7 4
II. Перпендикулярно	8,2	0,043	30	19 24	$-1,39 - \frac{1}{18,9 t}$ $+2,61$ $1g t$	1,1	0,12 0,14 0,2	6,4 16,6 4,5	19,8 13,95

и вычисляли коэффициент, учитывающий время нагружения t ,

$$K(t) = a'/a^*, \quad (8)$$

где a' и a^* — фактическое и расчетное расстояние между шпурами, см.

В результате обработки полученных лабораторных данных (табл. 1) и промышленных экспериментов (табл. 2) установлена зависимость для расчета проектного расстояния между шпурами на основе материалов лабораторных экспериментов

$$a_{pr} = \left\{ a_p + a_0 [K(t)_1 - 1] \frac{P_p}{P_n} \right\} K_0, \quad (9)$$

где a_{pr} — проектное расстояние между шпурами, м; a_p и a_0 — расчетное расстояние между шпурами при проектном и лабораторном диаметре шпур, м; $K(t)_1$ — коэффициент, учитывающий время нагружения, рассчитываемый по формуле, установленной в процессе лабораторных экспериментов; P_p и P_n — давление НРС на стеки шпур при проектном и лабораторном диаметре шпур, МПа; K_0 — коэффициент, учитывающий расположение проектной линии разрушения относительно направления облегченного раскола.

По формуле (9) для условий Кубин-

Кордонаского карьера выполнены расчеты параметров технологии добычи блоков мрамора с применением НРС (табл. 3), которые в летний период 1988 г. прошли опытно-промышленную проверку.

Промышленные эксперименты показали, что при разрушении перпендикулярно направлению облегченного раскола во избежание заколов время нагружения не должно превышать 24 ч. Расчет расстояний между шпурами в направлении облегченного раскола экономически целесообразно выполнять для времени нагружения не более 72 ч.

Экономическая целесообразность применения НРС для комбинированной технологии добычи блоков мрамора в условиях Кубин-Кордонского карьера следует из того, что в аналогичных условиях затраты на образование поверхности блоков буровзрывным способом (ДШ и шпур) составляют 13,03 р./м², а канатными силами с карбид-кремниевым абразивом — 23,75 р./м².

В целом приведенная методика исследований может быть использована для оценки перспектив применения НРС при добыче блоков облицовочного камня различного генетического типа на основе соответствующих лабораторных экспериментов.

Информация

Новый декоративно-облицовочный материал агилит для облицовки фасадов зданий¹

разработан совместно Конструкторско-технологическим бюро Мосгорстройматериалы и МИСИ им. В. В. Куйбышева. Агилит изготавливается на основе аминокольдегидной смолы и гипсового вяжущего по литьевой технологии. Композиция включает также фосфорит — отход производства фосфорной кислоты и кремнефтористоводородную кислоту, которые способствуют образованию малорастворимых фторидов и

кремнефторидов кальция, повышающих водостойкость наружной отделки.

Физико-механические характеристики материала агилит: предел прочности при сжатии — 40 МПа; водонепроницаемость — не более 2%; морозостойкость — не менее 0,6 МПа/см²; морозостойкость — не менее 100 циклов. Плиты из материала агилит — белого цвета, но с добавлением красителей можно получить расцветки разных тонов и с рисунком под мрамор. Производство декоративно-облицовочного материала предусмотрено на Воскресенском ПО «Минудобрения».

¹ Баранов И. М., Козлов В. В., Бессонов И. В. Новый декоративно-облицовочный материал агилит / Промстъстройматериалы Москвы. — 1989. — Вып. 7.

В. Д. ЛОРТИПАНИДЗЕ, канд. техн. наук, Р. В. МИХЕЛЬСОН, канд. техн. наук,
Т. Ш. ЭЛИЗБАРШВИЛИ, канд. техн. наук, Б. П. ЛОБЖАНИДЗЕ, инж.
(Институт горной механики им. Г. А. ЦУЛУКИДЗЕ АН ГССР)

Оценка эффективности вариантов взрывной технологии подготовки базальтовых блоков

С целью установления рациональных параметров взрывной технологии подготовки блоков природного камня для условий Рачисубанского базальтового карьера (Грузинская ССР) были проведены испытания трех различных вариантов направленного раскалывания монолитов с помощью детонирующего шнура марки ДШ-А.

Физико-механические свойства базальта данного месторождения: плотность — 2,45—3,15 т/м³, водопоглощение — 0,12—2,35, предел прочности при сжатии — 83—116 МПа, скорость распространения продольной волны — 4,5 км/с.

Во всех испытаниях диаметр шпурев, пробуренных в плоскостях желаемого раскола, составлял 36 мм, а их длина равнялась высоте монолита. Длина линии наименьшего сопротивления (расстояние между плоскостью заложения зарядов и ближайшей параллельной ее боковой свободной поверхности) изменялась в пределах $W=0,5—1,6$ м, причем коэффициент сближения зарядов a/W был равен 0,1—0,9 (a — расстояние между зарядами, м).

При первом и втором вариантах линейные заряды состояли соответственно из одинарных и двойных отрезков ДШ-А, взываемых в шпурах при наличии воздушного радиального зазора, при третьем варианте одинарные отрезки ДШ-А предварительно размещались в концентраторах напряжений, состоящих из двух симметричных полуцилиндров.

Наружный диаметр концентратора напряжений (рис. 1) в сборке равняется диаметру буровой коронки, благодаря чему обеспечивается его полное соприкосновение со стенками шпуря, внутренний же диаметр канала, предназначенного для размещения ДШ-А, равняется 8 мм. При заряжении шпуров концентраторы напряжений, снабженные зарядами ДШ-А, ориентировались таким образом, чтобы плоскость соприкосновения полуцилиндров совпадала с плоскостью желаемого раскола (рис. 2).

Для установления оптимальной длины концентраторов напряжений в третьей серии опытов их относительная длина l_0/l (где l_0 — длина концентратора напряжений, l — глубина шпуря) изменялась в пределах от 0,5 до 1.

Критериями качества действия взрыва являлись величина высоты выступов (глубины впадин) шероховатости колотых поверхностей (Δh) и показатель солестойкости камня (марка Мрз) при циклическом испытании образцов в ра-

сторе сернокислого натрия по ГОСТ 9479—84.

При условии обеспечения требований ГОСТ 9479—84 в отношении упомянутых показателей ($\Delta h < 6$ мм, марка Мрз ≥ 25) наилучше эффективным считался третий вариант, характеризующийся минимальной себестоимостью блоков. Результаты испытаний различных вариантов взрывной технологии подготовки базальтовых блоков приведены в табл. 1.

Следует отметить, что данные по третьему варианту соответствуют условию $l_0/l=1$ в интервале изменения длины л. н. с. $W=0,5—1,6$ м.

В табл. 2 представлена зависимость высоты выступов (глубины впадин) ше-

роховатости колотых поверхностей от относительной длины концентратора напряжений при расстоянии между шпурами $a=0,36$ м.

Как видно из данных табл. 1 и 2, при первом, втором и третьем вариантах оптимальное расстояние между шпурами составило соответственно 0,15; 0,25 и 0,36 м, причем в зависимости от длины линии наименьшего сопротивления длина концентратора напряжений может быть уменьшена на 10—40% по сравнению с глубиной шпуров. Из изложенного следует, что третий вариант является наиболее предпочтительным для снижения расходов на бурение и на взрывчатые материалы.

Испытание образцов базальтовых изделий на солестойкость показало, что

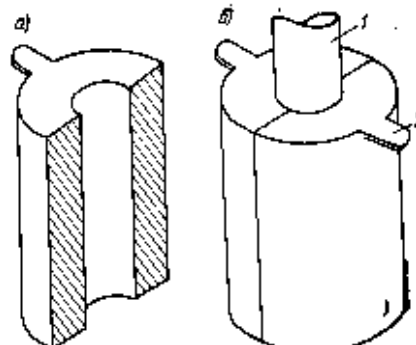


Рис. 1. Концентратор напряжений:
а — полуцилиндр (материал ст. 3); б — концентриатор в сборке
1 — отрезок ДШ-А; 2 — упоры

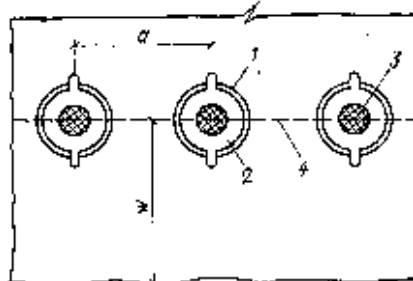


Рис. 2. Схема размещения концентраторов напряжений:
1 — шпур; 2 — концентратор напряжений; 3 — отрезок ДШ-А; 4 — плоскость желаемого раскола

Таблица 1

Расстояние между зарядами, a , м	Высота выступов (глубина впадин) шероховатости колотых поверхностей, Δh , мм, при варианте		
	1	2	3
0,1	1,1	—	—
0,15	2,2	—	—
0,2	7,1	3,5	0,5
0,25	—	9,9	1,6
0,3	—	8,5	2,4
0,36	—	—	3,3
0,4	—	—	6

Таблица 2

Длина линии наименьшего сопротивления, W , м	Относительная длина концентратора напряжений, l_0/l	Высота выступов (глубина впадин) шероховатости колотых поверхностей, Δh , мм	
		1	2
0,5	1	1,9	—
	0,9	2,8	—
	0,8	3,6	—
	0,7	4,2	—
	0,6	4,8	—
1	1	3,2	—
	0,9	4	—
	0,8	4,4	—
	0,7	5	—
	0,6	6,6	—
1,6	1	4,6	—
	0,9	5	—
	0,8	6,7	—
	0,7	9,9	—

взрывные нагрузки не оказывают существенного влияния на долговечность камня, поскольку потеря массы образцов, передняя грань которых соприкасается со стенками шлура, после 15 циклов не превышала 5% исходной величины. Плиты, вышлифованные из блоков, подготовленных действием взрыва, характеризуются весьма высокой маркой по мерзостойкости (Мрэ-150).

В табл. 3 представлена калькуляция фактической себестоимости 1 м³ базальтовых блоков, подготовленных действием взрыва ДШ-А и по базовой технологии — клиновым способом.

УДК 622.363.51

Б. М. УСАЧЕНКО, д-р техн. наук, В. Г. ПЕРЕПЕЛИЦА, канд. техн. наук
(Институт геотехнической механики АН УССР)

Опыт отработки тектонически нарушенных участков месторождения гипса

Таблица 3

Ставки расходов	Затраты на 1 м ³ блока, р., при вариантах	взрывной технологии		
		I вариант	II вариант	III вариант
	базовым рабочим	рабочим	рабочим	рабочим
Материалы				
Буровой инструмент	0,48	0,89	0,68	0,5
Коронки	1,78	4,32	2,97	2,46
Тросы, металлический	0,8	0,8	0,8	0,8
Концентратор напряженный	—	—	—	0,35
Услуги со стороны	1,88	3,6	2,8	2,3
ИТОГО:	4,94	9,61	7,25	6,41
Зарплата				
На горно-подготовительные работы				
Разкорабочие	5,42	4,16	4,16	4,16
Горнорабочие	3,78	3,01	3,01	3,01
На добычу и пасынковку				
Взрывные шпуры	2,91	6,86	4,75	3,28
Раскальывание	2,82	2,08	2,08	2,08
Теска к окантовке	6,39	1,48	1,05	0,87
Перемещение валуна и блоков трактором	2,34	2,34	2,34	2,34
Разборка забоя	1,86	1,86	1,86	1,86
Очистка рабочего места и уборка инструмента	0,99	0,98	0,98	0,98
Итого основная зарплата	26,7	22,74	19,82	17,91
Дополнительная зарплата	2,14	1,82	1,69	1,43
Себестоимость	58,64	61,04	62,07	60,91

Как видно из представленных данных, использование взрывной технологии подготовки блоков по третьему варианту обеспечило снижение их себестоимости на 20% по сравнению с базовым. Новая технология подготовки блоков внедрена на Рачисубанском базальтовом карьере с гарантированным экономическим эффектом 35,2 тыс. р.

Реализуя описанный способ при выявлении мест нарушений, в качестве разведочных выработок использовали панельные и осевые вентиляционные штреки. При этом проходку выработок осуществляли, выдерживая имеющейся в разрезе пласта маркировкой прослой в средней части выработки по всей ее длине.

Участки вскрытия нарушенной сплошности или изменчивости гипсометрии доломитового прослоя интерпретировали как наличие мест нарушенностей пласта. Поскольку при панельной подготовке шахтного поля подготовительные выработки (панельные и осевые вентиляционные штреки) значительно опережают очистные, информация о наличии и размерах нарушенных зон позволяла благовременно принимать решения по их перекрытию очистными работами.

Для определения устойчивых параметров опорных целиков и потолочин камер в таких зонах разработана методика, учитываяшая наличие дефектов структуры, зон изменения свойств и состояния массива в местах дислокаций. В основу методики расчета целиков положена следующая модель их нагружения и деформирования: трехслойная часть нарушенного породного массива с известными параметрами каждой из зон размещена в средней части целика, который работает в режиме одностороннего сжатия и воспринимает нагрузку, равную массе пород до поверхности. Основываясь на указанной модели и вводя в известное положение Л. Д. Шевякова о равенстве несущей способности целиков массе налегающих пород принятые предпосылки о соответствии несущей способности однородного целика сумме несущих способностей его нарушенной и ненарушенной частей, определяли расчетную длину нарушенного целика.

Поскольку в местах дислокаций верхняя часть пласта частично разрушена или замещена глинистым материалом, при расчете потолочки использовали гипотезу свода М. М. Протодьяконова, хорошо работающую в условиях связных, относительно слабых пород при достаточно малом сопротивлении их разрыву. Расчет необходимой мощности потолочки производили, моделируя несущий слой гипса балкой, защемленной по краям в случае отсутствия разрывов и консолью при его разрывах. Нагрузку от массы ядра свода считали распределенной равномерно по длине несущих элементов, учитывая при этом их собственную массу. Принимая во внимание возможные варианты нарушенности пласта, решали задачу определения несущей способности потолочки с отдельно нарушенными нижним и верхним защитными слоями, а также сквозной нарушенностью.

Опыт отработки нарушенных показал, что наиболее опасным для устойчивости выработок является выход нарушенной зоны на торцевую поверхность целика. Это ведет к смещению его частей под нарушением, уменьшению несущей площади и последующему разрушению. Для

предотвращения этих случаев был рекомендован разворот целиков на 90°, позволяющий сориентировать их длинную ось перпендикулярно линии распространения нарушений, что практически исключало возможность выхода нарушенных на торны целиков. Наряду с этим, нарушенные зоны оставляли в средней части оформленного под целик массива, что позволяло наилучшим образом обеспечивать их устойчивость.

Практикой отработки нарушенных зон установлено, что буровзрывной способ выемки снижает устойчивость горных выработок, что отрицательно сказывается на безопасности ведения работ. Происшедшее на шахте под воздействием взрывов обрушения потолочины и форжирование ослабленных целиков вблизи нарушений показали необходимость отработки тектонически нарушенных участков способами, исключающими вредное влияние взрывных работ.

Выполненные ИГТМ АН УССР работы по обоснованию технической возможности и экономической целесообразности применения комбайнов при добыче гипса составили основу для разработки схем очистной его выемки в зонах геологических нарушений. Отработку рекомендовано вести одни или двумя ходами

комбайна Урал-20КС с шириной камеры в первом случае 6,1 м, во втором — 10,4 м.

Был принят следующий порядок отработки камерного запаса: один (или двумя — в зависимости от расчетной ширины камеры) ходами комбайны снимали первый слой мощностью, равной высоте рабочего органа комбайна. Затем выработки останавливали не менее чем за 4 м до границ выявленных нарушений, после чего снимали второй слой. Мощность второго слоя выдерживали равной высоте рабочего органа комбайна до выхода за четырехметровую зону за нарушенiem, после чего выработки второго слоя выводили на уровень первого слоя.

Такой порядок отработки первых двух слоев способствует формированию в пределах четырехметровой зоны до и после нарушеня и по всей длине дополнительной защитной пачки, обеспечивающей необходимую устойчивость потолочины камеры. Мощность дополнительной пачки, определенная расчетом для условий Артемовского месторождения, составляла 3 м.

Образовавшуюся за нарушенiem после выемки выработка второго слоя на уровне первого слоя консоль в кровле

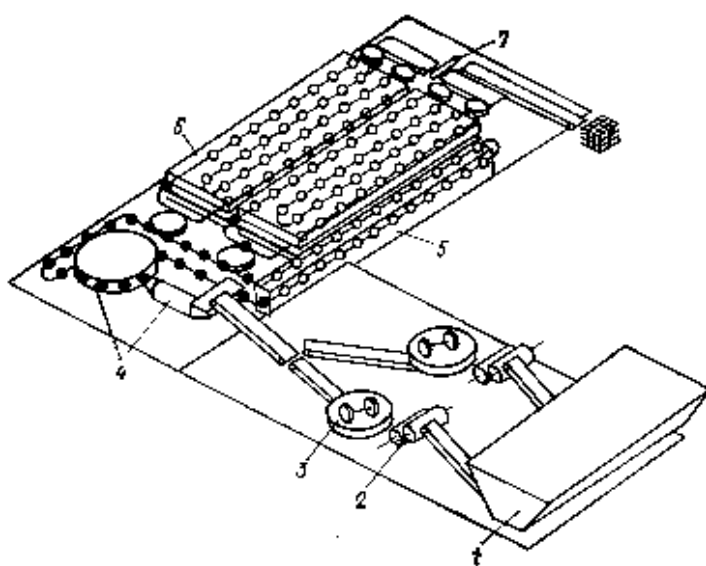
выработки закрепляли анкерной крепью. Параметры крепления составляли: шаг установки крепи 1—1,5 м, расстояние между анкерами в ряду 0,8—1 м, глубина установки 2,5—3,5 м. Дальнейшую отработку камерного запаса осуществляли последовательным снятием третьего — шестого слоеv.

В случаях, когда требовалось осуществить доработку камерного запаса при отработанной обычным способом верхней части нарушенного пласта и налиний в этом месте уже ослабленных потолочки и целиков, выемку нижних слоев производили под защитой межслоевого целика, мощность которого согласно расчетам составляла не менее 3 м. В этом случае отработку камерного запаса в нижней части пласта осуществляли по одноходовой схеме снятием такого количества слоев, которое требовалось на проектную отметку подошвы камер.

Реализация указанных схем в сочетании с комбайновым способом отработки позволила обеспечить безопасность работ и на 7—10 повысить коэффициент извлечения. В результате дополнительного извлечено из зон геологических нарушений 482 тыс. т гипсового камня, получен фактический экономический эффект в сумме 315 тыс. р.

РОТОРНО-КОНВЕЙЕРНАЯ ТЕХНОЛОГИЧЕСКАЯ ЛИНИЯ ПО ВЫПУСКУ КЕРАМИЧЕСКОГО КИРПИЧА

НАУЧНО-ПРОИЗВОДСТВЕННЫЙ КООПЕРАТИВ «РОСТР» НА ВЫСТАВКЕ ЭКСПОРТНЫХ ДОСТИЖЕНИЙ В 1989 Г. ПРЕДЛОЖИЛ РОТОРНО-КОНВЕЙЕРНУЮ ТЕХНОЛОГИЧЕСКУЮ ЛИНИЮ ПО ПРОИЗВОДСТВУ КЕРАМИЧЕСКОГО ПОЛНОТЕЛОГО И ПУСТОТЕЛОГО КИРПИЧА МОЩНОСТЬЮ ДО 3 МЛН. ШТ. В ГОД В СТАЦИОНАРНОМ И ПЕРЕДВИЖНОМ ВАРИАНТАХ.



Технологическая схема

1 — бункер; 2 — вакуум-пакетировщик с объемным прессованием с обжигом и вакуумированием; 3 — вибрационный ролик; 4 — многопозиционный роторный пресс; 5 — автомат принудительной сушки с вибрационной обработкой; 6 — линия объемного прессования с обжигом и вакуумом; 7 — вибропитатель

Линия включает бункер с ящичными питателями, ленточные конвейеры, дезинтеграторные валцы, бегуны, многопозиционный роторный пресс, роторно-конвейерную линию автомата принудительной сушки с вибрационной обработкой, роторно-конвейерные линии объемного прессования с обжигом и вакуумированием, автомат-пакетировщик обожженного кирпича на поддон в пакет типа «слочек», систему автоматического управления на базе микропроцессорной и микроЭлектронной техники. Технологическая схема представлена на рисунке. Линия разрабатывается и поставляется под сырье, имеющееся в наличии у заказчика.

Адрес кооператива «Ростр»:
109180, г. Москва,
Б. Полянка, 23, с. 3.
Телефон 238-51-36.

ВНИМАНИЮ СПЕЦИАЛИСТОВ,
РУКОВОДИТЕЛЕЙ ПРЕДПРИЯТИЙ,
ОБЪЕДИНЕНИЙ И КООПЕРАТИВОВ

УДК 62-768.4:828.64

В. М. МЕЛКОЗЕРОВ, инж., Т. И. НЕМЦЕВА, инж. (СибНИИпроектцемент)

ЗАЩИТА ПОВЕРХНОСТЕЙ ПЫЛЯЩИХ МАТЕРИАЛОВ ПОЛИМЕРНОЙ ПЛЕНКОЙ

Остро стоит проблема предотвращения пыления сырьевых материалов при их транспортировке и хранении на предприятиях угольной, цементной, химической, горно-рудной, металлургической промышленности и др. Ежегодно в результате распыления теряются тонны дорогостоящего сырья, загрязняется атмосфера. Установлено, например, что в угольной промышленности потеря угля при перевозках по железным дорогам составляет 1,5% от всей его добычи. Кроме того, при транспортировке мелкодисперсных материалов наносится ущерб и железнодорожным путям. Пыль оседает на железнодорожном полотне, забывает стыки, мешает работе автоблокировки. В цементной промышленности широко используются в качестве сырьевых материалов золошлаковые отходы теплознегетических станций, пиритные и колчеданные огарки металлургических производств и т. д. Как правило, такие материалы хранятся на открытых складах, в буртах, занимая значительные площади. Это приводит к загрязнению водного и воздушного бассейнов. Сложной является и технологическая переработка таких материалов в летний период, так как связана с большим их пылераспространением. Особенно это касается золошлаковых отходов ТЭС.

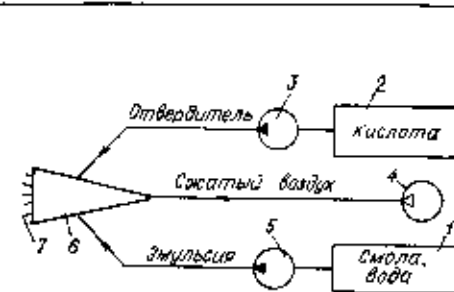
Существующие способы и методы защиты пылящих поверхностей малозэффективны и дорогостоящи и чаще всего малоприемлемы. Например, широко используется для пылеподавления вещество «универсал». Однако применение его приводит лишь к локальному закреплению пылевых частиц и временному устранению пылераспространения.

Защита пылящих поверхностей смесями экстрактов селективной очистки масляных фракций и остатков сернистых нефтей, относящихся к классу компаундированных жидких битумов, а также композициями,ключающими сали магния, воду и ортофосфорную кислоту, латекс и т. д., малоэффективна и дорого стоит. Специалисты СибНИИпроектцемента ведут поиск составов для закрепления пылящих объемов. Предлагаются составы, представляющие собой полимеризационные смеси, наносимые на защищаемую поверхность в виде тонкой полимерной пленки.

Эффект полимерного покрытия обусловлен высокими адгезионными свойствами пленки и полным связыванием мелкодисперсных частиц в поверхностном слое.

Исходными компонентами для получения полимерной смеси являются синтетическая смола — мочевинаформальдегидная, вода и пенообразователь — неорганическая кислота (соляная или другие 5—8%-ной концентрации).

Для получения составов и их нанесения на пылящие объекты разработана специальная установка (см. рисунок). Из указанных выше компонентов приготавливают смоляную эмульсию. В ее составе смола и вода входят в заданном соотношении. Эмульсия в ёмкости 1 в течение 3—5 мин перемешивается. В ёмкости 2 подготавливается слабоконцентрированный раствор, например, соляной или любой другой неорганической кислоты.



Принципиальная схема установки для получения полимерной пленки

Эмульсия и раствор неорганической кислоты при помощи насосов 3, 4, 5 подаются в реактор-смеситель 6 с двух противоположных сторон. Одновременно в каневую часть реактора подается сжатый воздух от компрессора 4. Соотношение компонентов регулируется диаметром отверстий соответствующихводов. В реакторе все среды смешиваются, в результате чего идет процесс поликонденсации, т. е. отверждение эмульсии. Частично прошедшая поликонденсацию эмульсия под действием сжатого воздуха разбрызгивается 7 на пылящую поверхность отвалов, бурта и т. д., проникает в мелкодисперсный материал на небольшую глубину и через 10—45 с окончательно твердеет, образуя прочную полимерную пленку, связывающую пылящие частицы в поверхностном слое.

**НАДЕЖНАЯ ЗАЩИТА ОТ ПЫЛЕНИЯ
МЕЛКОДИСПЕРСНЫХ СТРОИТЕЛЬНЫХ
МАТЕРИАЛОВ И ТВЕРДЫХ
ВЫСОКОРЕАКЦИОННЫХ ТОПЛИВ ПОЗВОЛЯЕТ
СБЕРЕЧЬ ИХ
ОТ ПОТЕРЬ ПРИ ТРАНСПОРТИРОВАНИИ
И ХРАНЕНИИ В ОТКРЫТЫХ СКЛАДАХ,
А ТАКЖЕ ПРЕДОТВРАТИТЬ ЗАГРЯЗНЕНИЕ
ИМИ ВОДНОГО И ВОЗДУШНОГО БАССЕЙНОВ**

Толщина полимерной пленки может колебаться от 0,4 мм и выше и обуславливается продолжительностью нанесения разбрзгиваемой эмульсии (3—8 с и более на одном месте).

Атмосферостойкость полимерной пленки определяется изменением ее эксплуатационных свойств во времени. Это значит, что по истечении определенного времени происходит старение полимера, которое выражается в появлении трещин, разрывов, в разрушении полимерного материала.

При больших перепадах температур (в зимнее время — от —10 до —30°C, в весенне-летний период — от —20 до +40°C), а также при действии осадков в виде дождя и снега, ударных нагрузок и при обдувании струей воздуха видимых изменений защитного слоя не наблюдалось в течение 14—16 мес.

Сегодня специалисты института работают над получением более эффективных полимерных составов в отношении продолжительности эксплуатации и повышенной износостойкости. Так, введение в композицию дополнительно поверхностно-активного вещества придает пленке эластичность и стойкость к деструкционному разрушению. Она служит без видимых изменений до 24—26 мес. Стоимость 1 м² защитного покрытия составляет 0,04—0,07 р.

Составы и эксплуатационные характеристики разработанных полимерных пылезащитных пленок приведены в таблице. Составы защищены авторскими свидетельствами.

Опытно-промышленные испытания полимерных пылезащитных пленок проведены на Ангарском цементно-горном комбинете с целью защиты от пыления золоотвалов ТЭЦ.

Нанесение пленки позволяет исключить пыление золы в местах ее добычи, улучшить условия труда рабочих, занятых при ее разработке, повысить культуру производства. Однако разработанная пылезащитная пленка подвергается деструкции и разрушению. Поэтому исследования по улучшению свойств пленок, увеличению ее срока службы продолжаются с целью пылеподавления при переработке мелкодисперсных материалов в транспортно-технологических трактах. Проводятся исследования по применению водоэмulsionий высокократных пен и термических пленок для защиты твердых топлив от возгораемости.

Композиция №	Состав полимерного покрытия	Составление, % по массе	Скорость гидролиза, с	Продолжительность пленки, кг/см ²	Срок эксплуатации, мес
1	Мочевиноформальдегидная смола Водный раствор неорганической кислоты Вода	5—20 8—10 70—75	10—15	0,85	14—16
2	Мочевиноформальдегидная смола Водный раствор неорганической кислоты ПАВ Пластификатор Вода	14—18 8—8 1,1—1,6 0,4—0,6 71,8—73,2	8—10	0,85	24 в более

Изучается возможность улучшения гидромолекулярных, адгезионных, прочностных и других свойств полимерных пленок, паст, пленкообразующих покрытий с использованием отходов производства целлюлозно-бумажных комбинатов, нефтехимических заводов на основе лигносульфонатов, технических и простых на матричном основании, с любым содержанием сухих веществ, сульфитно-дрожжевой бражки и щелочных стоков производства капролактама. Применительно к данным составам разрабатываются технология нанесения и оборудование.

СИБНИИПРОЕКТЦЕНТР НА ОСНОВЕ ХОЗЯЙСТВЕННОГО ДОГОВОРА ПРИМЕНЕНИЕ К УСЛОВИЯМ ЛЮБОГО ПРЕДПРИЯТИЯ МОЖЕТ РАЗРАБОТАТЬ ТЕХНИЧЕСКУЮ ДОКУМЕНТАЦИЮ НА ОБОРУДОВАНИЕ, СОСТАВЫ, ТЕХНОЛОГИЧЕСКИЙ РЕГЛАМЕНТ ПРОИЗВОДСТВА ПРОТИВОПЫЛЬНЫХ РАБОТ; ОКАЗАТЬ НАУЧНО-МЕТОДИЧЕСКУЮ И ТЕХНИЧЕСКУЮ ПОМОЩЬ ВО ВНЕДРЕНИИ ПЫЛЕЗАЩИТНЫХ СОСТАВОВ, ВЫДАТЬ РЕКОМЕНДАЦИИ ПО ДАЛЬНЕЙШЕМУ ИХ ИСПОЛЬЗОВАНИЮ С УЧЕТОМ ЭКОНОМИЧЕСКИХ, ЭКОЛОГИЧЕСКИХ И ДРУГИХ ФАКТОРОВ.

Обращаться можно по адресу: 660080, Красноярск, Самарская ул., д. 329.
Тел. 34-04-68.

Экология и промышленное предприятие

УДК 660.002.8.05.01.58

А. А. ДОЦЕНКО, канд. техн. наук, Б. Н. СКОБЕЛЬСКИЙ, инж., Г. Х. ЮРЬЕВА, инж. (НПО «Союзстремэкология»)

Автоматизированная система научно-технической информации по охране труда и защите окружающей среды в промышленности строительных материалов

Для поиска необходимой информации создаются автоматизированные системы научно-технической информации (АСНТИ), которые представляют собой совокупность организационных и математических методов машинной переработки информации и средств вычислительной техники и связи, репрографии и оперативной полиграфии, позволяющих автоматизировать функции центров информации всех уровней [1—4].

Основная задача, стоящая перед АСНТИ, — это организация коммуникации между потребителями и информацией. Для этого в системе решаются

задачи: определение информационных потребностей, формирование входных информационных потоков по тематическим направлениям; обслуживание абонентов, ведение банка информации (данных).

Для обслуживания абонентов необходимо решить ряд вопросов: постановка на учет, режим обслуживания, форма представляемой информации, содержание информации в зависимости от формы представления, периодичность и время обслуживания, вид связи с абонентом, организации обратной связи и др.

НИПИОстром разработал АСНТИ

«ОТОС-СМ» по охране труда и защите окружающей среды в промышленности строительных материалов, которая является составной частью отраслевой системы информации разрабатываемой ВНИИЭСМом.

«ОТОС-СМ» является как реферативная информационно-поисковая система, которая представляет собой совокупность административных и научных методов машинной переработки информации.

Основными компонентами системы являются: база данных БД; пакет прикладных программ CDS/ISLS/ES, разработанный ЮНЕСКО; пакет сервисных программ, пакет прикладных программ «КАМА», обеспечивающий реализацию функций системы в диалоговом режиме; программы-конверторы из кода МЕКОФ, ЕС ЭВМ, укомплектованной цифровыми видеотерминалами (рис. 1).

Система позволяет реализовать ввод (в пакетном и диалоговом режимах), контроль и фильтрацию базы данных; поиск в режиме избирательного распространения информации и ретроспективный поиск по запросам абонентов; заказ абонентами количества первоисточников; обеспечение сохранности баз данных.

С целью экономии машинного времени, значительного уменьшения времени реакции системы на запросы, уменьшения необходимых ресурсов ЭВМ в системе предусмотрены оперативная база данных (новые поступления) и база долговременного хранения. Схема ввода новых поступлений приведена на рис. 2. Информация поступает в систему двумя потоками: на магнитных лентах из других информационных систем или центров и с рабочих листов, полученных в результате обработки первоисточников в НИПИОстроме.

Отбор информации из первоисточников проводится экспертами. Информация, поступающая из других центров на магнитных лентах, фильтруется по рубрикатору системы и только затем загружается в оперативную базу данных. Эксперты, просматривая новые поступления в диалоговом режиме по соответствующим рубрикам, проводят оценку и устанавливают срок актуальности материалов. Срок хранения информации в оперативной БД — один месяц, в БД долговременного хранения длительность хранения определяется сроком актуальности. Через месяц вся отобранная информация автоматически заносится в базу данных долговременного хранения. Хранение информации в системе осуществляется на магнитных дисках, архивные и страховочные копии БД хранятся на магнитных лентах. База данных «ОТОС-СМ» доступна для всех абонентов (внешних и внутриинститутских) — специалистов в области охраны труда и защиты окружающей среды в промышленности строительных материалов.

Удовлетворение информационных потребностей внешних абонентов производится периодически по постояннодействующим или разовым запросам.

© Доценко А. А., Скобельский Б. Н., 1990

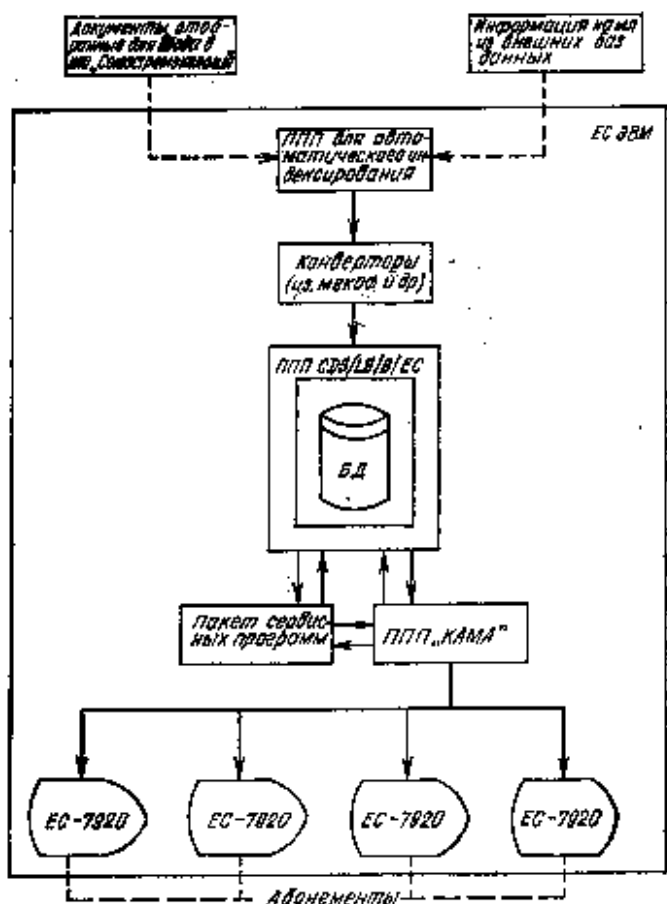


Рис. 1. Взаимосвязь компонентов АСНТИ «ОТОС-СМ»

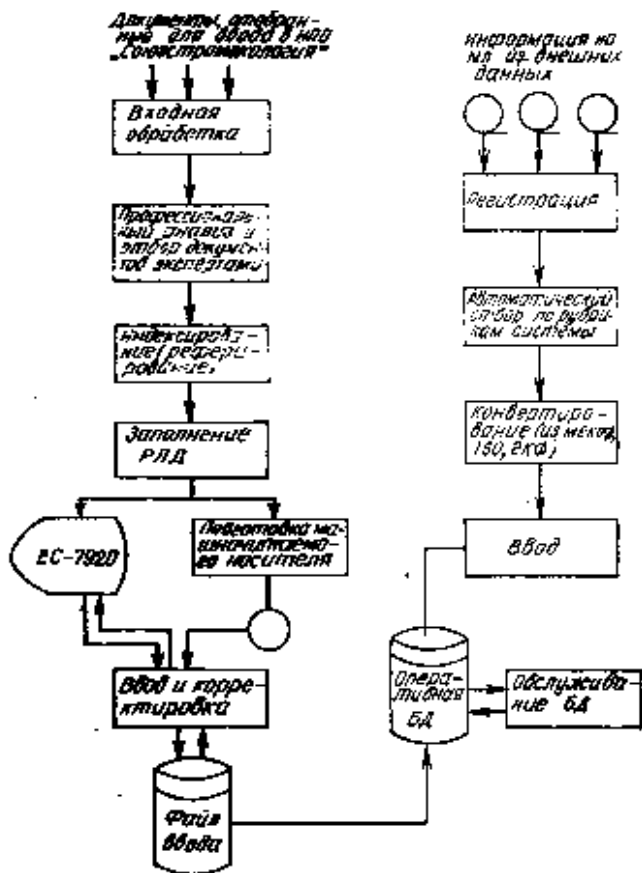


Рис. 2. Схема входа новых поступлений в АСТИ «ОТОС-СМ»

Кроме этого, имеется возможность обмена с другими АСТИ на уровне баз данных в формате МЕКОФ через магнитные ленты. Внутриинститутские абоненты получают доступ к базе данных через установленные в основных лабораториях и отделах института видеотерминалы.

Для определения степени использования информации в выявлении наиболее активных абонентов и экспертов с целью привлечения их к совершенствованию информационного обслуживания предусмотрено накопление статистики обращений в базе данных.

Технологическая схема обслуживания абонентов в режимах избирательного распространения информации (ИРИ) и ретроспективного поиска (РП) АСТИ «ОТОС-СМ» приведена на рис. 3. Возможно проведение поиска информации по стандартным запросам в оперативной базе данных и по разовым запросам, содержащим ключевые слова и (или) тематические рубрики и (или) фамилии автора, год издания и т. п. во всей базе данных. Результаты поиска выводятся на видеотерминал или на печатающее устройство.

Абонент может сразу сделать заказ на получение копии первоисточника. Контроль выполнения заказов ведется ЭВМ. Система доводит заказы до сведения информационных работников и информирует необходимую заказную документацию.

Важной проблемой АСТИ является минимизация информационного «шума» при реализации запросов. Система с высоким «шумом» становится практически бесполезной, так как в получен-

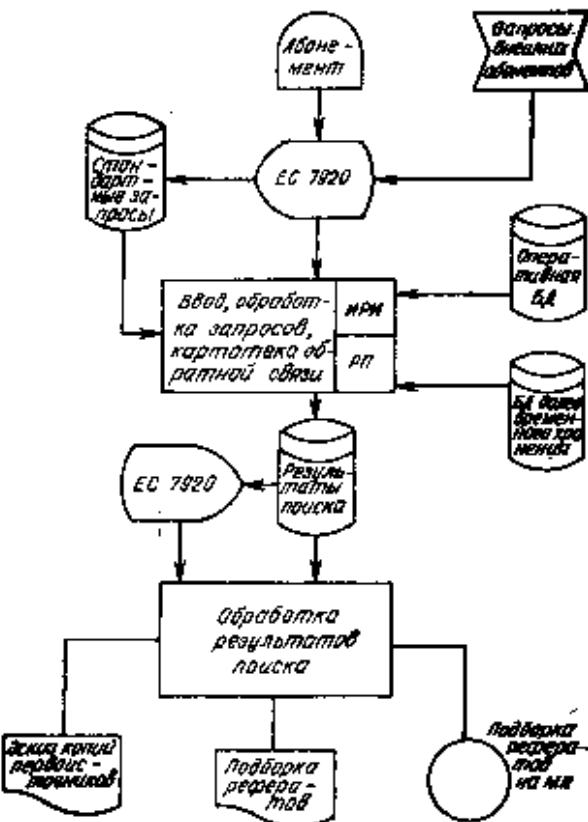


Рис. 3. Технологическая схема обслуживания абонентов в режимах ИРИ и РП АСТИ «ОТОС-СМ»

ных результатах поиска нужно снова производить поиск, но теперь уже вручную. Во многом «шум» определяется способом индексирования документов. Под индексированием документов понимается перевод их содержания с естественного языка на формализованный информационно-поисковый язык, в результате чего формируются поисковые образцы документов (ПОД), представляющие собой обычно последовательность имен понятий. Эти имена связаны друг с другом определенными синтаксическими отношениями. Узкотематические поисковые признаки обычно вводятся в ПОД в виде набора терминов, ключевых слов или дескрипторов, отражающих основное содержание документов.

Математическое обеспечение АСТИ «ОТОС-СМ» позволяет использовать несколько способов индексирования:

— ручное, когда составление ПОД производят квалифицированный сотрудник, знающий соответствующую предметную область и правила индексирования;

— неконтролируемое (свободное), когда все слова после исключения так называемых стоп-слов включаются в инвертированный файл и используются при поиске;

— автоматическое, которое базируется на достаточно строгих алгоритмах.

Ручное (интеллектуальное) индексирование опирается только на искусство специалистов по индексированию. К достоинствам этого способа можно отнести высокое качество индексирования документов. К недостаткам — ручной труд, малая скорость работ.

При свободном индексировании принцип создания ПОД непосредственно по текстам документов (их рефератам) заключается в следующем. Формируется специальный набор так называемых «стоп-слов», которые не должны включаться в словарь системы. В этот набор вносятся обычно союзы, предлоги, частицы, общеупотребительные слова и слова с очень высокой частотой встречаемости. Все остальные слова включаются в словарь системы в том виде, в котором они встречались в тексте.

При этом способе исключается ручной труд, повышается скорость индексирования, но неизбежно возрастает объем словарей в памяти ЭВМ.

При автоматическом индексировании слова, обнаруженные в словаре, вносятся в ПОД. ПОД расширяется посредством учета синонимов, а также парадигматических и ассоциативных связей, выраженных в тезаурусе. Из текста также выделяются словоупоминания, внесенные в тезаурус.

Достоинства этого способа — автоматизация процесса, большая скорость выполнения работ, хорошее качество индексирования. Но для его использования необходима большая ручная подготовительная работа по созданию тезауруса научно-технических терминов, хотя работы по автоматизации этого процесса уже известны.

В качестве рабочих способов индексирования приняты ручные — для небольшого объема информации, заносимой с рабочих листов, и автоматическое — для большого потока информации при объеме с другими АСТИ (если есть необходимость индексации).

Таким образом, основными отличиями АСНТИ «ОТОС-СМ» от аналогичных систем является:

наличие оперативной базы для новых поступлений данных, что позволяет с минимальным временем реакции системы обслуживать в диалоге абонентов в режиме ИРИ, экономить ресурсы ЭВМ, так как оперативная база имеет малый объем информации (поступления за 1 мес.);

наличие средства приема в диалоговом режиме заявок на первоисточники, обработка их и составление писем на их приобретение;

наличие статистики работы экспертов.

Разработку и внедрение автоматизированной системы научно-технической информации по охране труда и защите окружающей среды в промышленности строительных материалов осуществляют отдел автоматизации и отдел НТИ НПО «Союзстромэкология».

Создание автоматизированной базы данных с использованием магнитно-ленточных носителей ГСНТИ позволило обеспечить эффективное накопление информационных массивов по тематике охраны труда и защиты окружающей среды в промышленности строительных материалов и их тиражирование на магнитных лентах для других организаций.

Внедрение системы несомненно повысит оперативность и качество информационного обеспечения научных исследований и разработок, их научно-технический уровень, сократит сроки выполнения НИР и ОКР, ускорит процессы обмена передовым опытом.

Несмотря на то, что система разрабатывалась по тематике охраны труда и защиты окружающей среды в промышленности стройматериалов, возможно использование принципов построения и программного обеспечения системы в других отраслях.

СПИСОК ЛИТЕРАТУРЫ

1. Васильев С. М., Ожогин В. А., Флоренцов С. Н. Методические материалы к документации по пакетам прикладных программ. Пакет прикладных программ СФ/ISIS/ЕС. Вып. 22. Ч. 1, 2. ГИИТИ. — М., 1983.
2. Белоногов Г. Г., Кузьминов Б. А., Новоселов А. П. Итоги науки и техники. Автоматизированная обработка научно-технической информации. Инженерные аспекты / ВНИИТИ. — Сер. информатика. — Т. 8. — М., 1984.
3. Кузаков Д. Л., Пупкинская Р. И., Стась Е. В. Инженерные автоматизированные системы научно-технической информации. ИТКИР. — М., 1984.
4. Единый порядок разработки и развития АСНТИ. ГКНТ. — М., 1981.

Транспортные перевозки материалов

УДК 691.223.004.3

Г. Г. СТАРЧЕНКО, инж. (ПО «Уралнеруд» ТСО Средуралстрой Минуралсбстрой РСФСР)

Предотвращение смерзания песка в железнодорожных вагонах

В ПО «Уралнеруд» ТСО Средуралстрой на входящих в его состав гидромеханизированных Пышминском и Махневском песчаных карьерах многие годы велился поиск надежного способа предотвращения смерзания строительного песка при перевозке его в железнодорожных вагонах.

Карьеры являются основными поставщиками природного песка для строительных организаций и заводов железобетонных изделий Свердловской области. Поскольку технология добычи и обогащения песков, мощность этих карьеров и отсутствие складов соответствующей вместимости у потребителей не позволяют последним создавать необходимый запас песка в летнее время, поставки песка ведутся равномерно в течение года.

Ежегодно, в осенне-весенний период, смерзание песка, отгружаемого с гидромеханизированных карьеров в железнодорожные вагоны, создавало на заводах железобетонных изделий и в строительных организациях значительные организационные и экономические трудности.

Песок, складируемый в карты намыва (160—170×80×90×9—11 м), после добычи его земснарядами и обогащения имеет незначительный модуль крупности (1,8—2,6) (см. таблицу) и очень высокую исходную влажность (соотношение т/ж=1/30—40), которая понижается очень медленно и через 1,5—2 мес достигает 10—13%. С наступлением устойчивых отрицательных

температур такой песок обладает высокой смерзаемостью, особенно при движении поездов и в ночное время.

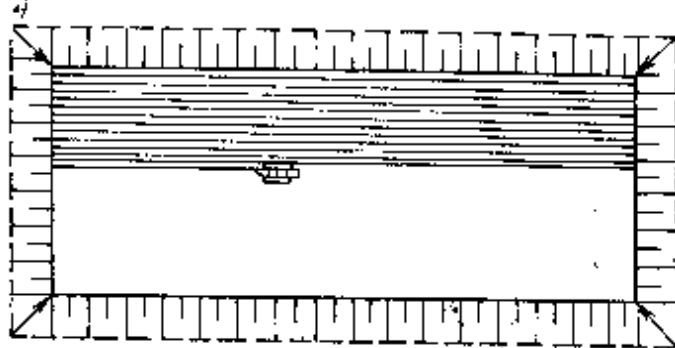
Предотвращение смерзания песка путем размещения его тонким слоем и перемораживания перед погрузкой, несмотря на кажущуюся простоту, оказалось нереальным вследствие большой трудоемкости и необходимости иметь вблизи фронтов погрузки большие свободные площадки для размещения перемораживаемого песка.

В связи с этим в 1981 г. на Пышминском карьере было испытано, а затем в течение пяти лет применялось в качестве основного способа профилактики опрыскивание песка при погрузке его в вагоны противоморозной добавкой Паш-1 — адипатом натрия. Наблюдения показали, что при температуре воздуха до -20°C внесение 2% ядриката натрия и равномерное его распределение предотвращает смерзание песка в вагонах. Однако при более низких температурах он не только не предотвращает смерзаемость песка, но даже усиливает ее. Положениесложняется еще и тем, что при погрузке песка одноковшовым экскаватором в погрузчиками с ковшом вместимостью 1 м³ и более равномерно распределять добавку в песке невозможно.

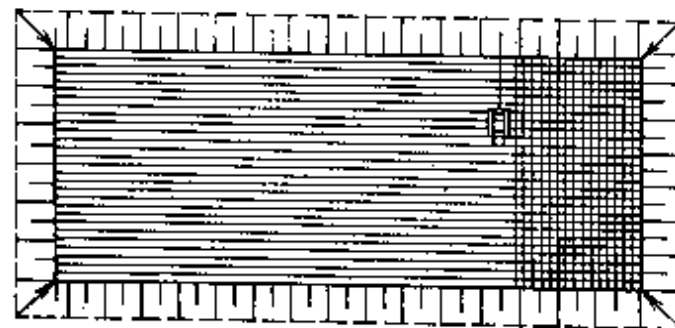
В 1986 г. от такого способа профилактики, как основного, решили отказаться и с наступлением устойчивых отрицательных температур воздуха перешли к послойному перемораживанию песка перед погрузкой в вагоны непо-

Карьер	Полные остатки песка на ситах, %							Проход сквозь сите 0,14 мм	Мкр		
	Размер отверстий сит, мм										
	10	5	2,5	1,25	0,63	0,316	0,14				
Махневский Пышминский	0,3 0,1	4,3 0,5	11,3 2,4	20,5 5,9	46,6 29,3	79,7 82,1	95 90,5	6 9,5	2,1 3,3	2,63 1,9	

© Старченко Г. Г., 1990



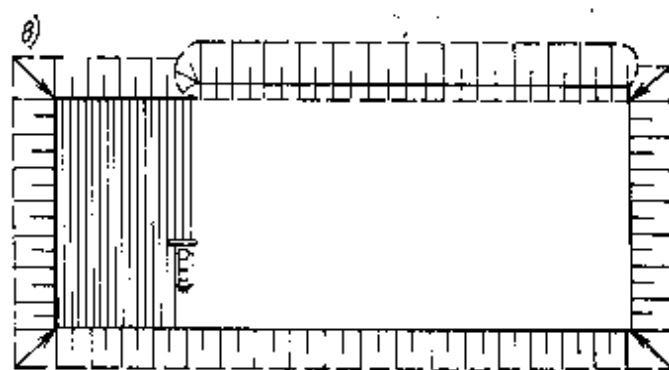
а)



средственном в штабелях (на картах намыва). Обработка песка Паш-И применяется только на периоды, когда температура воздуха снижается до $(-5 \text{--} -7^{\circ}\text{C})$ и в течение суток колеблется от плюсовой до минусовой.

Послойное перемораживание песка непосредственно в штабелях (картах намыва) осуществляется следующим образом. К зимнему сезону на карьере обычно готовятся три-четыре карты намыва. За специализированным погрузочным звеном закрепляются бульдозер ДЗ-27, погрузчик Л-34 (ПНР) и одна или две карты намыва. После того, как глубина промерзания верхнего слоя песка на картах намыва достигает 0,15—0,25 м, приступают к его рыхлению. Сначала рыхление ведут на одной из карт. Чтобы не допустить чрезмерного промерзания песка в целике при температуре воздуха ниже $-20^{\circ}, -30^{\circ}\text{C}$, на одной половине карты производят рыхление, а на другой — отгрузку. Рыхление ведут в два этапа на 5—10 см выше уровня промерзания песка.

На первом этапе песок рыхлят вдоль карты (рис. а) и выдерживают некоторое время. На втором этапе (рис. б) после образования смерзшейся корки толщиной 5—10 см песок рыхлят поперек карты. Закончив рыхление одного участка (одной карты или одной половины карты), переходят к рыхлению в таком же порядке другого участка, а на первом участке приступают к буртованию песка. Буртование выполняет бульдозер ДЗ-27,



Рыхление песка на картах намыва при перемораживании
а) I этап — продольное рыхление; б) II этап — поперечное рыхление; в) перемещение перемороженного песка к фронту погрузки

расстояние 6 км к погрузочным железнодорожным путям и сваливают в отвал.

Из отвала песок экскаватором Э-2505 с ковшом вместимостью 2,5 м³ гружают в платформы по 32,5 м³ в каждую и маршрутами по 40—45 вагонов отправляют потребителям, расположенным от карьера на расстояния 150—200 км. Перемороженный таким способом песок не смерзается при транспортировке и даже при длительном хранении в отвалах.

За истекшее время случаев смерзания песка в вагонах зафиксировано не было. Песок хорошо разгружается из платформ и полувагонов через люки и быстро отсыпается при подаче в бетономешательные устройства.

Информация

Влагостойкий материал

для внутренней отделки стен¹

В ПО «Мосстройпластмасс» освоено производство влагостойких и влагостойких стеновых материалов на оборудовании фирмы «Римишклайнвестферс» (ФРГ) с использованием отечественного сырья: поливинилхлорида — эмульсионного ластообразующего и мицросуслевационного; пластикаторов — динктилфталата и модифицирующего бутилбензилфталата; наполнителей — чешуи, титановых белых, стабилизаторов — барневокадмиевых; вспенивателей; кикера — окиси цинка; книгбиторов химического тиснения; печатных красок; стеклохолста в качестве подложки.

К высокопрочным материалам относятся поливинилхлоридный декоративный вспененный на стеклохолсте материал стеклон, который применяется при влажности более 70%, температуре 18...40°C — в ванных комнатах, кухнях. К влагостойким — поливинилхлоридный декоративный рулонный на бумажной подоснове материал — девилон, которым отделывают коридоры, кухни

жилых и общественных зданий.

Новые материалы изготавливают на универсальной установке промазанным способом. Разработан технологический процесс.

Центральной научно-исследовательской лабораторией ПО «Мосстройпластмасс» совместно с МНИИТЭП исследованы эксплуатационные свойства стекловых отделочных материалов.

На Калинровском и Хорошевском кабиностроительных заводах были изготовлены партии санитарно-технических кабин для жилых зданий, детских дошкольных учреждений и других с использованием влагостойкого материала.

Срок службы поливинилхлоридного декоративного вспененного материала 15—20 лет в условиях термовлажностной эксплуатации, а при нормальных условиях — значительно больше.

По сравнению с керамической плиткой новый отделочный материал требует меньше трудозатрат при работе с ним, он более долговечный, стоимость его меньше. Экономический эффект на 100 м² отделанной поверхности — 365 р. при снижении трудозатрат на 7 чел.-дн.

¹ Емельянова С. А., Алесякова Т. Н., Богатырева Н. Н. Влагостойкая стеновая материал / Промстройстройматериалы МАСКИ. — 1989. — Вып. 7.

Новые и улучшенные материалы

УДК 691.85

А. П. МЕРКИН, д-р техн. наук, Л. Э. ВИТВЛЬС, канд. техн. наук, С. А. ЮРМАНОВ,
инж., (МИСИ им. В. В. Куйбышева), Р. Г. ПЕТРОЧЕНКОВ, канд. техн. наук
(Московский горный институт)

Композиционные ПВХ-олигомерные материалы, имитирующие природный камень

Современное строительство испытывает острую нехватку отделочных материалов: для полов, стеновых, декоративно-защитных и др.

Такой традиционный строительный с уникальными декоративно-эстетическими свойствами и хорошими эксплуатационными характеристиками материал, как природный камень, в силу ряда экономических и конъюнктурных причин не может в полной мере удовлетворить все потребности строительства.

В то же время при добыче камня и его переработке на камнеобрабатывающих заводах образуется большое количество отходов. Используется же в среднем лишь 40–60% отходов, а по некоторым видам природного камня и работ лишь 1,5% [1, 2].

Одним из способов утилизации отходов камнеобрабатывающей промышленности и расширения объемов и номенклатуры строительных отделочных материалов является изготовление на их основе декоративных элементов, в частности декоративных плит.

Декоративные плиты из отходов обработки камня подразделяются на три типа: прессованые или формованные, пиленные из искусственных блоков, склеенные из кусков камня любой формы.

Авторами исследована возможность получения пиленных декоративных плит из полимерных композиционных материалов — полимербетонов с использованием (в широком диапазоне) в качестве наполнителей предварительно фракционированных отходов от переработки природного камня.

До настоящего времени наибольшее распространение в качестве связующих в полимербетонах получили ненасыщенные полиэфиры, эпоксидные, фурановые и карбамидные смолы. Однако ограниченная сырьевая база, довольно высокая стоимость и неудовлетворительные экологические показатели препятствуют широкому практическому использованию этих материалов. Так, эпоксидные связующие вследствие их высокой стоимости применяют лишь для получения плит со специфическими свойствами, например высокой радиационной стойкости. Существенным недостатком фурановых смол является то, что в них необходимо вводить большие количества кислого отвердителя, а карбамидные смолы имеют ограниченную водостойкость.

Полиэфирная смола представляет собой стирольный раствор продукта

кодеполицирования диэтиленигликоля с малеиновым и фталевым ангидридом. Стирол отвердителем полизифирной смолы можно применять гидроизопропилбензола, которая также является веществом токсичным.

В последние годы внимание исследователей привлек принцип получения смесевых полимерных композитов, основанный на структурообразовании реакционноспособных полимер-олигомерных систем.

Одним из наиболее перспективных технологических методов реализации этого принципа является так называемое химическое (жидкое) формование. Оно позволяет совместить в одном технологическом процессе синтез высокополимера и его переработку. Принцип химического формования состоит в том, что наращивание полимерной цепи — линейной для термопластов и сетчатой для реактопластов — происходит одновременно с конструктированием изделий.

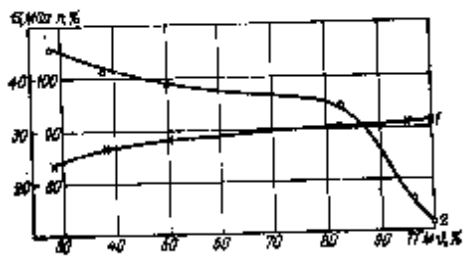


Рис. 1. Зависимость степени наполнения и прочности композиций от содержания ТГМ-3 в ПВХ-олигомерном связующем:
1 — степень наполнения композиции; 2 — предел прочности при сжатии

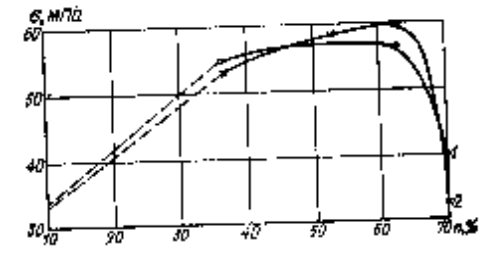


Рис. 2. Зависимость прочности композиций от природы наполнителя (1 — содержание наполнителя, % по массе); 2 — гранит; 3 — гравий

Исследование связующее включало в качестве реакционноспособной компоненты олигоэфирокрилат, а в качестве полимерной составляющей — эмульсионный поливинилхлорид (ПВХ). Вопросы совместимости и фазового равновесия в ПВХ-олигоэфирокрилатных системах нашли отражение в ряде работ [3–5].

При разработке состава связующего изучаемых композиций исследованы специфические особенности и условия совместной компонентов. Для этого изготавливали образцы смесей ПВХ-ЕП-Б602-С с различным относительным содержанием олигоэфирокрилата ТГМ-3.

Процессы структурообразования связующих протекали при термообработке в диапазоне температур 130–190°C в течение 10–60 мин. Было установлено, что наибольшая формируемость композиции соответствует такому составу, % (по массе): 38–46 олигомера и 55–62 ПВХ.

Полимер-олигомерное связующее достигает максимальной прочности после термообработки при температуре 170–180°C в течение 30–40 мин. Введение в состав связующего инициатора полимеризации — азоизодинитрила динозамасляной кислоты позволяет существенно снизить температуру процесса — на 40–50°C.

Значительный вклад в формирование свойств материала в целом наряду со связующим вносят наполнители. Играет роль, в частности, их природа, содержание, фракционный состав и физические свойства, а также характер взаимодействия с матрицей связующего.

Состав связующего влияет на степень его наполнения и на прочность композиции (рис. 1). Так, увеличение количества олигоэфирокрилата в связующем, приводящее к снижению вязкости, позволяет существенно повышать содержание каменного наполнителя в системе вплоть до 90% по массе. В то же время увеличение содержания минеральной компоненты приводит к разупрочнению материала в связи с повышенением дефектности структуры [6]. Зависимость прочностных свойств композитов от природы наполнителя показывает (рис. 2), что максимальной прочностью обладают материалы на основе гранита. Это во многом связано с характером поверхности гранита, которая обеспечивает наиболее высокие адгезионные свойства на границе раздела фаз.

Установлены оптимальные соотношения полимерной и минеральной составляющих и относительное содержание компонентов в связующем, исходя из реологических свойств системы на стадии переработки и физико-механических показателей готовых материалов. Это соответствует 38–40%-ному содержанию олигозифиракрилата и 85–87%-ному — каменного наполнителя.

Изготовление декоративных плит из таких композиций не требует сложного оборудования, больших затрат электроэнергии и может быть организовано на любом предприятии строительной индустрии. Технологическая схема производства включает в себя подготовку сухой фракционированной каменной смеси, приготовление полимерной смеси, формование искусственных каменных блоков, распиловку их на плиты.

Варьируя соотношение полимерной и минеральной компонент, условия и степень полимеризации, а также фракционный состав и соответственно плотность упаковки наполнителей, можно получить декоративные плиты в широком диапазоне физико-механических, эксплуатационных и декоративно-эстетических свойств, которые приведены ниже:

Свойства ПВХ-олигомерных композиционных декоративных материалов

Физико-механические

Предел прочности, МПа:	
при сжатии	55–56
при изгибе	4,6–1,8
Испаряемость, г/кг ²	1,2–1,4
Модуль упругости, МПа	5,8·10 ³ –5,4·10 ⁴
Коэффициент термического линейного расширения, 10 ⁻⁵ К ⁻¹	100–200
Твердость по ТМ-2 (условные единицы)	3,8–4
Усталостная выносливость при многократной сжатии, тыс. циклов	20–60
Коэффициент Пуассона	0,32
Плотность, г/см ³	2,2–2,3
Эксплуатационные	
Водопоглощение за 24 ч, %	0,1–0,2
Теплостойкость, °С	73–85
Морозостойкость, циклы	Более 100
Средняя стойкость к УФ-облучению, коэффициент поглощения:	
до облучения	0,15
после облучения	0,22

Новые материалы могут быть применены как для внутренней отделки различных сооружений, так и для облицовки фасадов зданий в районах с мягким климатом, что подтверждается результатами исследований их атмосферостойкости.

Сравнительные технико-экономические характеристики декоративных плит из отходов природного камня на основе поливинилхлорид-олигозифиракрилатного связующего (ПВХ-ОЭА) и эпоксидной смолы (ЭД-20) приведены в таблице. Физико-механические свойства плит на основе ПВХ-олигомерного связующего в 1,5–1,8 раза превышают требования ГОСТ 24099–80, а их стоимость в 4 раза ниже стоимости плит на основе эпоксидной смолы.

Помимо плит, плинтусов из искусственных блоков, на поливинилхлорид-олигозифиракрилатном связующем можно получать однослойные декоративные плиты толщиной 10 мм и выше, а также двухслойные плиты — облицовочный слой толщиной 3–4 мм нанесен на цементно-стружечные, асбесто-

Характеристика плит	Показатели для плит на основе связующего	
	ПВХ-ОЭА	ЭД-20
Толщина, мм	10	10
Масса 1 м ² , кг	22,6	20
Количество утилизированных отходов, кг/1 м ²	18,75	12,5
Расход полимерной композиции, кг/м ²	3,76	4
Стоимость, р/м ²	4	16–90

цементные, древесно-волокнистые, гипсобетонные, бетонные и другие подложки.

Однослойные и двухслойные плиты формуют «клином вниз». В этом случае фактура покрытий получается полированной. Двухслойные плиты представляют собой готовые отделочные строительные элементы заводского изготовления, которые легко и быстро монтируются на строительной площадке.

Технология изготовления декоративных плит из отходов переработки природного камня, апробированная в опытных и опытно-промышленных условиях, экономична. Производство может быть организовано без значи-

тельных капитальных вложений и в сжатые сроки. Получаемые отделочные материалы отличаются разнообразным цветом, рисунком, фактурой, экологической безопасностью как на стадии изготовления, так и в процессе эксплуатации.

СПИСОК ЛИТЕРАТУРЫ

- Михалко В. С. Опыт Украинской ССР в производстве строительных материалов из промышленных отходов. — М.: ВНИИЭСМ, 1987. Сер. II. Исследование отходов попутных продуктов в производстве строительных материалов из извести. Охрана окружающей среды. Обзор. информ. Вып. I.
- Экономические проблемы использования промышленных отходов / Л. А. Ведашов, И. А. Жаркова, В. А. Сакмаревский и др. — Киев: Наукова думка, 1983.
- Принципиальные основы в технологических особенностях получения полимеро-гомерных материалов / В. Г. Задонцев, С. А. Ярошевский, С. М. Межиковский и др. // Пластичные массы. 1984. № 5.
- Релаксационные свойства системы поливинилхлорид-олигозифиракрилат/В. Н. Лякцов, В. Г. Задонцев, С. А. Ярошевский и др. // Пластичные массы. 1984. № 5.
- Фазовые равновесия в системах поливинилхлорид-олигозифиракрилат / А. В. Котова, А. Б. Чалых, Н. Н. Авдеев, С. М. Межиковский. Высокомолекулярные соединения. 1982. Т. 24. № 3.
- Литвин Ю. С. Физическая химия волокнистых полимеров. — М.: Химия, 1977.

УДК 669.872.125:669.162.268.448

И. Л. ТРУБНИКОВ, канд. хим. наук, Т. Г. ЛУПЕЙКО, д-р хим. наук,
Н. А. АВТУШЕНКО, инж., Б. В. ТАЛЛА, канд. геол.-минер. наук
(Ростовский государственный университет)

Получение крупного вспученного термолитового гравия

На Северном Кавказе, как и в целом по стране, наблюдается острый дефицит высококачественных искусственных легких пористых заполнителей с насыщенной плотностью менее 500 кг/м³, что сказывается на росте производства эффективных строительных материалов, к числу которых относятся легкие бетоны.

Серьезным препятствием для наращивания выпуска керамзита является отсутствие разведенных месторождений хорошо вспучивающихся глин. Между тем в регионе имеются месторождения высококремнистых пород [1], которые могут служить основными материалами для получения высококачественного тер-

молитового гравия. Наибольший интерес представляют кристобалитовые породы повышенной плотности без явно выраженной органогенной структуры, т. е. опоки [2].

Из опок Каменоломенского и Баканского месторождений с добавками топливных шлаков и легкоплавких глин получен высококачественный термолитовый гравий (термолит I и термолит II). Проведены исследования свойств полученных материалов, испытания выполнены в соответствии с ГОСТ 9758–86.

Характеристика исходных сырьевых материалов приведена в табл. 1.

Таблица 1

Сырец	Средний химический состав, % по массе						
	SiO ₂	Al ₂ O ₃	Fe ₂ O ₃	CaO	MgO	TiO ₂	R ₂ O
Каменоломенская опока	74	6,5	3,2	4,6	1,1	—	2,1
Баканский опокол	79	5,3	1,7	4,7	0,9	—	1,5
Аксайская глина	82	11	6,1	0,3	0,2	0,1	1,9
Гостагаевская глина	65	18	3,3	0,2	0,2	0,1	3,3
Шлак Новочеркасской ГРЭС	48	22	13,5	4,2	1,8	0,6	3,2

Пробу сырья высушивали в сушильном шкафу при 105°C, а затем измельчали до полного прохождения через сито с размером ячеек 1 мм для подготовки гранул по порошковому методу [3, 4]. Взятые навески тщательно гомогенизировали, а далее затворяли водой до получения смеси с подходящей формочкой влажностью. Из приготовленной массы формовали сырьевые гранулы в пресс-форме диаметром и высотой 18 мм. Гранулы имели хорошую пластичность и сохраняли приданную форму.

Полученные гранулы высушивали в сушильном шкафу при 105–110°C до постоянной массы. Последующий нагрев был двухступенчатым, т. е. включал термоподготовку и обжиг. При температуре 200°C в течение 20 мин гранулы приобретают достаточную механическую прочность и лишены способности к разстекливанию. Этот способ получения соответствует режимам, используемым при традиционном получении керамзита.

В результате проведенных опытов по варированию составов наиболее приемлемыми оказались следующие: шихта I, % по массе: каменоломенская опока — 60; шлак ГРЭС — 30; аксайская глина — 10; шихта 2, % по массе: баканская опока — 60; шлак ГРЭС — 30; гостяевская глина — 10.

Образцы термолита I в течение 7 мин при температуре обжига 1090°C приобретают сферическую форму с достаточно высоким коэффициентом вспучивания (более 5). Дальнейшее повышение температуры и увеличение времени выдержки неблагоприятно влияет на получаемый материал: вследствие уменьшения вязкости поризованного расплава образцы теряют сферическую форму и сливаются.

Для получения термолита II необходимо высокая температура обжига — 1120°C при той же выдержке в 7 мин. Данные о коэффициенте вспучивания, зерновом составе и других физико-механических характеристиках образцов полученного термолитового гравия приведены в табл. 2.

Коэффициент формы заполнителя не превышает 1,2. Поры гранул имеют замкнутую сферическую форму.

Термолит I имеет марку по плотности 250 и по прочности П25, что соответствует первой категории качества. Тер-

Таблица 2

Материал	Коэффициент вспучивания $K_{\text{всп}}$	Каменоломенская опока, %	Плотность при сплавлении $\rho_{\text{спл}} / \text{кг/м}^3$	Берновий состав, д. м.	Прочность при сдавлении $f_{\text{сд}} / \text{МПа}$
Термолит I	5,14	0,468	0,234	23–25	0,69
Термолит II	2,86	0,57	0,34	15–20	1,74

молит II соответствует марка по плотности 350 и марка по прочности П75, что удовлетворяет требованиям, предъявляемым к керамзитовому гравию высшей категории качества.

Эксплуатационные характеристики легких бетонов существенно зависят от таких свойств пористого заполнителя, которые можно условно объединить в понятие «климатические» (табл. 3).

Присущая легким бетонам высокая пористость способствует возникновению и развитию коррозионных процессов [5, 6], особенно в арматуре железобетонных изделий. Эти процессы, естественно, активизируются с возрастанием агрессивности среды, в которой находится эксплуатируемый материал. Химическую стойкость [7] термолитового гравия определяли при нормальных условиях по потере массы образцов, выдерживаемых в 0,5М растворе соляной кислоты и в 0,5М растворе гидроксида натрия в течение 48 ч соответственно. Результаты оценки кислото- K_K и щелочестойкости $K_{\text{щ}}$ крупного заполнителя приведены в табл. 4.

Рентгенографический анализ полученных образцов пористого заполнителя выполнен на рентгеновском дифрактометре ДРОН-2 с использованием отфильтрованного медного (K_{α}) излучения. Определяющей кристаллической фазой термолита I является SiO_2 со структурой β -кварца. Наряду с ним присутствует в значительном количестве SiO_2 в виде β -кристобалита. Общий вид рентгенограммы образца термолита 2 сходен с рентгенограммой для первого состава, однако, в этом случае превалирует β -кристобалит над β -кварцем. В обоих материалах обнаружена неизнач-

тельная примесь муллита $\text{Al}_2\text{O}_3 \cdot \text{SiO}_2$ и железистой шпинели.

В результате проведенных исследований получен материал, удовлетворяющий требованиям, предъявляемым к керамзитовому гравию первой и высшей категории качества. Однако термолитовый гравий на основе каменоломенской опоки имеет почти в 2 раза больший коэффициент вспучивания $K_{\text{всп}}$, чем аналогичный продукт на основе баканской опоки. Более высокая насычная плотность термолита II с избытком компенсируется величиной его прочности (отдельные образцы имели прочность более 2 МПа).

Показатели по морозостойкости, а также данные испытаний на силикатный распад сходны или близки у обоих составов. Более существенно различаются данные по стойкости разновидностей материала в растворе сульфата натрия, по потерям при кипячении и в результате железистого распада. Эти показатели значительно лучше для термолита II. Особенно резки различия при определении водопоглощения. Испытания на кислото- и щелочестойкость показали высокое химическое сопротивление полученных материалов, которое обусловлено высокой inertностью основных составляющих фаз — кристаллических и аморфной.

Предварительная оценка состояния границы раздела термолит — цементный камень указывает на физико-химический характер взаимодействия. Обнаружено, в основном, образование низкоосновных гидросиликатов кальция, что дополнительное упрочняет заполнитель и способствует росту прочности бетонов.

Полученные результаты свидетельствуют о том, что в регионе можно существенно расширить сырьевую базу для производства легких пористых заполнителей, например, для химически стойких легких бетонов. При этом имеются большие возможности для целенаправленного регулирования качества полуфабриката.

Предлагается организация производства термолитового гравия по порошковому способу в г. Волгодонске Ростовской области на заводе легких заполнителей.

Волгоградские крупнотоннажные золошлаковые отходы в сфере практического использования будет способствовать созданию более благоприятной экологической обстановки в регионе.

Таблица 3

Материал	Морозостойкость (15 циклов), %	Силикатный распад, М. с., %	Железистый распад, М. ж., %	Потеря массы при кипячении в воде, М. в., %	Стойкость в растворе сульфата натрия, М. с. н., %	Водопоглощение по классу, %	Водопоглощение по объему, ф. в.о. %
Термолит I	0,1	1,75	2,14	2,68	3,19	15,5	7,25
Термолит II	0,13	3,89	0,29	2,31	0,45	1,29	0,73

Таблица 4

Материал	Кислото-стойкость, K_K , %	Примечание	Щелочестойкость $K_{\text{щ}}$, %	Примечание
Термолит I	98,16	У 20% образцов образуются крупные открытые поры	98,07	Наблюдаются образование открытых пор. Исчезла яркость цвета
Термолит II	90,3	Без изменений	99,83	Без изменений

СПИСОК ЛИТЕРАТУРЫ

- Кремнистые породы СССР (диатомиты, опоки, трепелы, синеволюты, радиоларииты) / Под общ. ред. У. Г. Джастекова. — Казань: Татарское книжное изд-во, 1976.
- Тадда Б. В., Трубников И. Л., Автушко Н. А. Влияние синтетического волластонита на спекание опал-кристобалитовых пород // Роль технологической минералогии в расширении сырьевой базы СССР: Гез. докл. — Челябинск, 1986.
- Указания по технологии производства глиноземистого керамзита. — Куйбышев: НИИкерамзит, 1984.
- Оваджай С. П. Производство керамзита. — М.: Стройиздат, 1987.
- Бурлаков Г. С. Технология изделия из легкого бетона. — М.: Высшая школа, 1986.
- Воробьев В. А. Строительные материалы. — М.: Высшая школа, 1973.
- Кирзовик бетона и железобетона, методы и инструменты / В. М. Москвин, Ф. М. Иванов, С. Н. Алексеев, Е. А. Гусев. — М.: Стройиздат, 1980.

А. А. КИСЕЛЕВ, инж., М. И. МЕЖОГСКИХ, инж., А. Л. ПАХОМОВ, инж.
(Ухтинский филиал ВНИИПК специстройконструкция)

Прочностные и деформационные свойства напорных асбестоцементных труб при поперечном изгибе

При возведении объектов обустройства месторождений нефти и газа с незначительной нагрузкой на фундаменты в качестве свай могут быть использованы специальные асбестоцементные трубы. Этому выводу послужила, в частности, предварительная оценка технико-экономических показателей асбестоцементных трубчатых свай в сравнении с показателями железнобетонных свай [1].

Известные данные о прочностных и деформационных свойствах асбестоцементных труб относятся к конструкциям с условным проходом до 200 мм [2, 3] и без дополнительной проверки не могут служить характеристиками материала свайных труб, отличающихся большими размерами сечения и толщиной стенок. Проверка механических свойств труб необходима, во-первых, для учета возможного влияния масштабного фактора на абсолютные показатели свойств асбестоцемента, во-вторых, для уточнения таких показателей применительно к условиям работы асбестоцементных труб в качестве свай.

Испытания были подвергнуты асбестоцементные напорные трубы двух серий, изготовленные из Коркинском комбинате асбестоцементных изделий (Челябинская обл.) в соответствии с требованиями ГОСТ 539-80* [3].

В серию I входили асбестоцементные напорные трубы класса ВТ 9 длиной 5 м с наружным диаметром 224 мм, с толщиной стенки по обточенному концу 14 мм. Серия II включала трубы того же класса, той же длины, но с наружным диаметром 324 мм, с толщиной стенки 19 мм.

Испытания выполнены по схеме изгиба однопролетной балки на специальном стенде, конструкция которого обеспечивала шарнирное опирание труб на опорах. Средние пролеты для труб обеих серий были приняты равными 8,5 м. Отношение высоты сечения нагибаемых образцов к пролету составляло 1/15 в первой и 1/10 во второй сериях испытаний.

Сосредоточенную нагрузку к трубе прикладывали посередине ее пролета с помощью гидравлического домкрата по распорной схеме. Нагрузку в процессе испытаний доводили до разрушающей. Ступени нагрузки принимали равными 1/10—1/20 от предполагаемой предельной (разрушающей). Каждую ступень нагрузки выдерживали не более 5 мин, что позволяет характеризовать загружение как быстрое. Нагрузки определяли расчетом, используя показания об разцового манометра и тарировочную кривую гидродомкрата. Прогибы на всех

ступенях загружения замеряли с точностью $\pm 0,01$ мм.

Характер излома в сечениях труб был ровный. Изломы всех образцов произошли в серединных сечениях труб непосредственно в месте приложения нагрузки. Разрушение труб происходило мгновенно. Высокая скорость разрушения указывает на преобладание хрупких свойств материала.

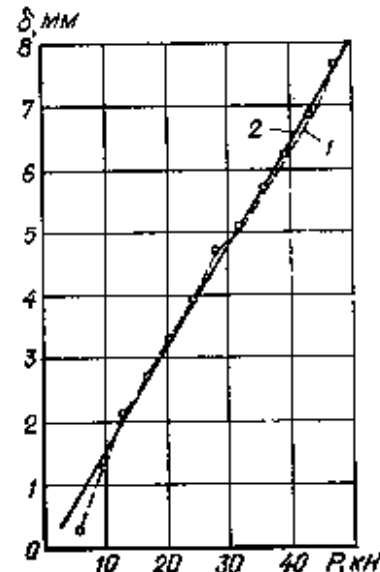
Результаты испытаний свидетельствуют о линейной зависимости прогибов от нагрузки (см. рисунок) при уровне загружения примерно до 90% от предельных нагрузок. Это согласуется с известными данными для асбестоцемента при растягивающих усилиях [4].

Модуль упругости E материала труб определялся по формуле

$$E = \frac{R l^3}{48 b I},$$

где R — нагрузка, кН; l — пролет, м; b — прогиб, м; I — момент инерции, м^4 , полученный путем преобразования выражения для прогиба однопролетной упругой балки, загруженной посередине пролета сосредоточенной нагрузкой. Предел прочности при изгибе материала трубы определялся в соответствии с требованиями ГОСТ 11310-81 (5).

Результаты экспериментов показывают, что средние значения предела проч-



Зависимость экспериментальная (1) и расчетная (2) прогиба δ труб с наружным диаметром 324 мм от нагрузки R .

Показатель	Прочностные и деформационные показатели асбестоцементных труб			Модуль упругости, МПа
	Предел прочности, МПа	Прогиб абсолютный, мм	Относительный, %	
Для серии I				
Среднее значение*	28,2	8,46	1/412	20,8
Нормативное значение	27	8,74	1/397	19,3
Коэффициент вариации V	28,8	10,18	1/348	15,9
Коэффициент Стьюдента t_a	24,7	8,65	1/414	16,9
	26,6	10,03	1/348	16,8
	26,3	9,21	1/380	17,8
Для серии II				
Среднее значение*	31,5	8,21	1/430	17,9
Нормативное значение	23,3	6,68	1/538	20,2
Коэффициент вариации V	32,6	8,5	1/418	19,5
Коэффициент Стьюдента t_a	25,6	7,60	1/460	16
	28,7	8,19	1/425	19,4
	27,4	7,88	1/432	18,3
Среднее значение*	21	6,35	1/515	15,1
Нормативное значение	0,02	0,1	0,11	0,09
Коэффициент вариации V	1,94	1,94	1,94	1,94
Коэффициент Стьюдента t_a				

Примечание. Нормативные значения прочностных и деформационных характеристик определены согласно рекомендациям ГОСТ 27761-88 [6]. * Без учета данных 3 опытов.

ности при изгибе труб обеих серий близки к показателям прочности труб условным проходом 100 и 150 мм, приведенным в ГОСТ 539-80*. Эти показатели хорошо согласуются с данными, полученными ранее [2] для труб с условным проходом 200 мм.

Среднее значение модуля упругости по результатам испытаний труб I серии составляет $17,8 \cdot 10^3$ МПа, II серии — $18,3 \cdot 10^3$ МПа (см. таблицу). Нормативные значения модуля упругости соответственно равны $12,9 \cdot 10^3$ и $15,1 \cdot 10^3$ МПа. Этот же показатель для листового асбестоцемента при временном сопротивлении (предел прочности) изгибу 26 МПа составляет $16,7 \cdot 10^3$ МПа по данным интерполяции табл. 2 СНиП 2.03.09-85 [7], а при пределе прочности при изгибе 27 МПа модуль упругости равен $17,3 \cdot 10^3$ МПа.

Средние экспериментальные значения модуля упругости асбестоцемента труб двух серий почти совпадают и примерно равны нормативному значению модуля упругости листового асбестоцемента [7].

В то же время нормативные значения модуля упругости материала, определенные расчетом, меньше приведенных в СНиП 2.03.09-85 [7] на 23% в первой серии испытаний и на 13% во второй. Это можно объяснить влиянием масштабного фактора. Различия же в абсолютных нормативных значениях модуля упругости по результатам испытаний двух малочисленных серий труб могут быть объяснены влиянием жесткости генеральных выборок в статистических расчетах их показателей.

Нормативные значения относительных прогибов для двух серий труб, приближенно равные 1/600 и 1/600, существенно отличаются от предельных прогибов, приведенных в указанном СНиПе для асбестоцементных панелей и плит.

Таким образом, можно сделать следующие выводы: для асбестоцементных напорных труб класса ВТ 9 с условным проходом 200 и 300 мм по ГОСТ 539-80* на этапе их опытного применения в качестве свай рекомендуется принимать следующие значения прочности и деформативности: предел прочности при изгибе — 26 МПа; нормативное сопротивление при изгибе — 21 МПа; нормативный модуль упругости — 13·10⁹ МПа; предельный относительный прогиб — не более 1/600 от пролета.

СПИСОК ЛИТЕРАТУРЫ

- Межгосударственный М. И., Ткачук В. Г. Исследование применение асбестоцементных труб в качестве свай // РНТС. Нефтепромысловое строительство. 1978. Вып. 8.
- Чеченин М. Е. Асбестоцементные трубы для газопроводов. — М.: Стройиздат, 1973.
- ГОСТ 639-80*. Трубы и муфты асбестоцементные напорные. Технические условия.
- Соколов П. Н. Технология асбестоцементных изделий. — М.: Стройиздат, 1968.
- ГОСТ 11310-81. Трубы и муфты асбестоцементные. Методы испытаний.
- ГОСТ 27751-88 (СТ СЭВ 384-87). Надежность строительных конструкций и оснований. Основные положения по расчету.
- СНиП 2.03.09-85. Асбестоцементные конструкции.

ХДК 878.748.22.60.026.2

Ю. Е. ЕВСЕЕВ, инж. (ВНИИстройполимер), Б. П. СЕРКОВ, канд. техн. наук
(ЦНИИпромзданий)

Переплеты окон из материалов на основе поливинилхлорида

В последние годы в зарубежном строительстве широкое распространение получили окна с переплетами из полимерных материалов, которые успешно конкурируют с аналогичными конструкциями из металла и дерева. Такие переплеты характеризуются высоким сопротивлением теплопередаче и воздухопроницанию, они долговечны, стойки к воздействию агрессивных сред, индустриальны в изготовлении и монтаже, экономичны в эксплуатации [1-4].

Для изготовления пластмассовых оконных блоков используют поливинилхлорид (ПВХ) [5]. На его основе можно получить различные композиции, перерабатываемые экструзионным способом в изделия, удовлетворяющие эксплуатационным и техническим требованиям.

У нас в стране окна с переплетами из ПВХ еще не получили практического применения. Опытно-промышленный их выпуск осуществлен на оборудовании Кустанайского завода железобетонных изделий № 4 треста «Кустанайтяжстрой» Министерства Казахской ССР. Проведены опытные работы по изготовлению оконных блоков из ПВХ с использованием формующей оснастки отечественного производства научно-производственным объединением «Полимерстройматериалы».

В настоящее время ряд строительных и других отраслевых министерств предполагает организовать производство окон

с переплетами из ПВХ и их внедрение на объектах промышленного и гражданского строительства. Однако эти работы могут быть претворены в практику лишь при условии, что для приготовления ПВХ смесей будет использовано максимальное количество отечественных компонентов.

Эксплуатационные качества пласт-

Таблица 1

Компонент рецептуры ПВХ профиля	Шифр рецептуры и количество компонента, %, по массе			ГОСТ или ТУ
	1	2	3	
Поливинилхлорид сульфатмагний Оксигипсил ХИ 50/64 Стабилизирующая система, в том числе:	90	90	85	14322-76
трехосновной сульфат свинца	26	20	30	Производство НР
двухосновной стеарат свинца	8	5	5.9	Б-09-4068-75
стабилизатор П2НС, БАХ С20				Б-09-2929-75
эпоксидированное гусковое масло				Производство ГДР
Сульфатмагний	1.5	1.5	0.6	Б-10-722-77
в том числе:				
стеарат кальция				Б-05-1-587-79
стеарина				6141-64
М-11	3	4	—	21 РСФОР-153-84
Двухокись титана	1	0	5	0534-79

массовых переплетов во многом зависят от правильного подбора ПВХ композиций, а также от технологического оборудования, применяемого для переработки их в изделия. С целью физико-технической оценки характеристик профилей оконных переплетов, изготовленных на основе композиций с использованием компонентов отечественного производства, в ЦНИИпромзданий Госстроя СССР и ВНИИстройполимере выполнены комплекс научно-исследовательских и экспериментальных работ.

В качестве опытных образцов брали несущие двухкамерные профили оконных блоков итальянского (фирма «Амут») типа А и отечественного (ЦНИИпромзданий) — типа Б конструкционных вариантов.

Профили имели сходные L-, Z- и T-образные формы поперечного сечения и при одинаковой толщине стенок, равной 2 мм, — разные высоты: 62 мм — у конструкции фирмы «Амут» типа А, 74 мм — у отечественной конструкции. Профили типа А были изготовлены на Кустанайском заводе железобетонных изделий № 4 по рецептуре НИИполимеров имени академика В. А. Карагина на специализированной линии фирмы «Амут» с двухшnekовым экструдером. Профили типа Б были отформованы на Тучковском экспериментальном предприятии НПО «Полимерстройматериалы» по рецептуре ВНИИстройполимера (табл. 1).

© Евсеев Ю. Е., Серков Б. П., 1990

с использованием одношнекового экструдера E1.90.25 (фирмы «Грусиома», ГДР).

В качестве основных компонентов рецептур НИИполимеров и ВНИИстройполимер использовали отечественный ПВХ и концентрат Окгровил ХИ 50/64 венгерского производства, представляющий собой смесь ПВХ и хлорированного полизтилена, который применяется для повышения сопротивляемости изделий ударным воздействиям. В отношении других компонентов (термо- и светостабилизаторы, смолы и т. д.) рецептуры НИИполимеров и ВНИИстройполимер различались между собой. Эксплуатационные качества экструдированных профилей оценивали по их поведению при тепловых воздействиях, сопротивляемости ударным нагрузкам и деформативности при статическом изгибе. Эти качества имеют важное значение при установлении типа зданий для применения окон с ПВХ переплетами и определении оптимальных геометрических размеров поперечного сечения последних в условиях воздействия на них эксплуатационных нагрузок.

Устанавливали предельные температуры, при которых переплеты сохраняют во время теплового воздействия первоначальную форму. Определяли также технологическую усадку изделий, которая обусловлена возникающими в изделиях при экструдировании остаточными напряжениями.

В качестве образцов использовали профили типа А длиной 200 мм. Нагревали и охлаждали образцы в термошкафу. Исследования проводили при температуре от 40 до 100°C с интервалом в 10°C, при этом обеспечивали равномерность повышения и снижения температур. Образцы при заданной температуре выдерживали 4 ч. Изменение формы и размеров образцов фиксировали визуально и путем измерений в продольном и поперечном направлениях с точностью до 0,1 мм.

Исследования показали, что при выдержке ПВХ профилей при температуре до 50°C их первоначальная форма и размеры не изменяются. Усадочные явления в продольном направлении до 0,5% и объемные деформации (в средней части поперечного сечения) начинают заметно проявляться при температурах 60—70°C. С повышением температуры более 80°C у профилей возникают недопустимые деформации, сильно исказяется форма их поперечного сечения.

Профили испытывали на ударную нагрузку при положительной (+20°C) и отрицательной (-25°C) температурах на экспериментальной установке ЦНИИ-промышленний, которая обеспечивает тре-

Таблица 2

Рецептура композиций	Физико-механические показатели ПВХ профилей			
	Ударная вязкость по Шарли, кДж/м ²	Разрушающее напряжение при растяжении, МПа	Модуль упругости при растяжении, МПа	Относительное удлинение при разрыве
1	4,79	39,3	2290	53
2	14,7	37	2120	45
3	28,18	36,6	2200	72

бумную энергию удара, для чего положение бойка регулируется относительно испытуемого материала. Образец длиной 300 мм устанавливали на двух цилиндрических опорах таким образом, чтобы удар приходился на фронтальную поверхность профиля в точке пересечения его продольной оси с линией, проходящей параллельно опорам и на равном расстоянии от каждой из них.

Ударная прочность профилей типа А оказалась выше, чем у профилей типа Б, изготовленных из ПВХ материала в соответствии с рецептурой 1 (см. табл. 1). Если, например, при температуре -25°C профили типа А не были повреждены при энергии удара менее 10 Дж, то в этих же условиях профили типа Б имели дефекты уже при энергии удара около 4 Дж. Учитывая это обстоятельство, во ВНИИстройполимере были проведены работы по оптимизации рецептурного состава ПВХ композиций для профилей типа Б с учетом физико-химических показателей, полученных на образцах, изготовленных по рецептуре 1.

Образцы для испытаний изготовляли из полос шириной 90 мм и толщиной 4 мм, которую получали на одношнековом экструдере E1.45.25 (фирмы «Грусиома», ГДР) с использованием плоскощелевой головки.

Лабораторные образцы испытывали с целью определения разрушающего напряжения при растяжении и относительного удлинения при разрыве (ГОСТ 11262—80, образец типа З), модуля упругости при растяжении (ГОСТ 9550—71, образец типа З), ударной вязкости по Шарли (ГОСТ 4647—80, образец типа ЗА). На основе полученных результатов разработаны рецептуры композиций 2 и 3, профили из которых имеют значительно более высокую ударную вязкость и при этом не уступают тем, что изготовлены по рецептуре 1 по другим физико-механическим показателям (см. табл. 2).

Ударная вязкость образцов, полученных экструдированием ПВХ смеси рецептуры 3 на двухшнековом прессе E2.90.20 (фирмы «Грусиома»), оказалась высокой — 42 кДж/м².

Проведенные по методике ВНИИстрой-

полимера сравнительные испытания ПВХ материалов на светостойкость позволили установить, что образцы, полученные на основе рецептур 2 и 3, по этому показателю существенно преосходят те, что изготовлены по рецептуре 1 и не уступают аналогичным зарубежным материалам.

Деформативность оконных профилей при статическом изгибе исследовали на экспериментальной установке ЦНИИ-промышлений в условиях имитирующих эксплуатационные нагрузки. Испытаниям подвергнуты профили типов А и Б. Установлено, что на модуль упругости при изгибе ($E_{\text{изг}}$) профилей оказывает влияние не только состав материала, но и технологический режим их формования. Так, для материала одной и той же рецептуры значения модулей упругости профилей разных партий имели отклонения от средних значений на 10—15%.

Сравнение результатов испытаний профилей на изгиб показало, что профили типа А, изготовленные по рецептуре НИИполимеров имели в 1,8 раза более низкие средние модули упругости при изгибе ($E_{\text{изг}} = 2300$ МПа), чем профили типа Б, отформованные по рецептуре 3 ВНИИстройполимера ($E_{\text{изг}} = 3100$ МПа). Вместе с тем оба показателя находятся в пределах значений $E_{\text{изг}}$, рекомендованных для ПВХ переплетов зарубежными фирмами.

Таким образом, установлена возможность эффективного использования при изготовлении оконных блоков ПВХ композиций на основе компонентов отечественного производства и поставляемых странами — членами СЭВ. Однако наличие в ПВХ материале всех необходимых ингредиентов еще не является гарантией хорошего качества готовых изделий. Соотношение компонентов рецептуры должно быть оптимизировано с учетом эксплуатационных требований и технических характеристик экструзионного оборудования. При этом важное значение имеют технологические параметры формования профиля.

По всем основным показателям: разрушающему напряжению при растяжении, модулю упругости при изгибе и растяжении, ударной вязкости, светостойкости ПВХ материалы для производства оконных профилей, разработанные во ВНИИстройполимере, не уступают аналогичным материалам зарубежных фирм. Следует отметить, что все без исключения ПВХ рецептуры в условиях промышленного применения должны быть скорректированы с учетом технических характеристик применяемого экструзионного оборудования и климатических условий, в которых предполагается эксплуатировать пластмассовые оконные блоки.

ПВХ композиций могут быть доработаны также в плане получения цвета, типа модификатора ударопрочности, стабилизирующей системы. Решение этих задач и обеспечение производства пластмассовых оконных блоков необходимыми компонентами в требуемых объемах будет способствовать повышению технического уровня, качества и эффективности строительства.

Список литературы

1. Purpose designed dry glazing. Window Industries. 1980. № 2.
2. Neuste Tendenzen in der Kunststoff-Fenstertechnik. Schweizerblatt. 1981. № 75.
3. Сарков В. И. Опыт применения при реконструкции зданий скоб с переплетами из поливинилхлорида // Промышленное строительство. 1986. № 3.
4. G. Walz. Haben weiße Kunststofffenster noch Zukunft? Kunststoffe im Bau. 1985. № 3.
5. G. Hundermark. Rationalisierung im Kunststoff-Fenster unter Verwendung von hochschlagfähigem PVC. Fenster und Fassade. 1984. № 4.

ПЕРЕДВИЖНАЯ БЕТОНОРАСТВОРНАЯ УСТАНОВКА

Установка для комплектом оборудования для укладки монолитного бетона включает емкости заполнителей и цемента в виде складывающихся бункеров, вертикальный конвейер для подачи заполнителей в затворы смесителя СБ-92А или СБ-92-1А, дозаторы для непрерывной подачи заполнителей, емкость для технологической воды (см. рисунок). Бункера в виде пневматической оболочки выполняются по индивидуальным заказам кооперативом «Ростр».

Для подачи бетонной смеси на укладку в дело кооперативом разработен телескопический конвейер, комплект комбинированной щитовой самонесущей опалубки.

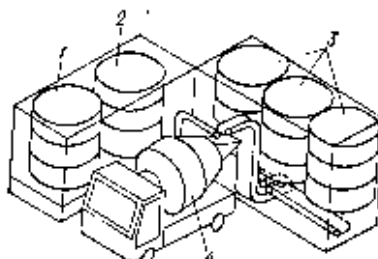


Схема установки:
1 — емкость для воды; 2 — бункер цемента; 3 — бункер заполнителей; 4 — автоматосмеситель

Адрес научно-производственного кооператива «Ростр»:
109180, г. Москва,
Б. Полянка, 23, с. 3;
тел. 238-51-36.

Результаты научных исследований⁶

УДК 669.014+691.173

М. С. САДУАКАСОВ, канд. техн. наук (Алма-Атинский архитектурно-строительный институт)

Влияние $\text{CaSO}_4 \cdot 2\text{H}_2\text{O}$ на структурообразование и прочность пеногипса

Цикл формования гипсовых изделий на действующих технологических линиях достаточно короткий и для литьевых гипсовых декоративных плит, например, составляет 10 мин. За этот период материал должен набрать прочность, достаточную, чтобы изделия можно было расформовать и переложить на тележки для последующей сушки. При изготовлении обычных гипсовых изделий особых трудностей в этом случае не возникает, так как за это время они набирают достаточную прочность. Иная картина наблюдается при формировании пеногипсовых и пеногипсово-волокнистых материалов — не только резко снижается прочность, но и в значительной мере замедляется скорость ее набора.

В межотраслевой научно-исследовательской лаборатории Алма-Атинского архитектурно-строительного института проведены исследования по интенсификации структурообразования пеногипсово-волокнистых плит и выявление минимального времени, необходимого для приобретения материалом расформованной прочности. От этого времени зависят длина и скорость движения формовочного конвейера.

Проведены эксперименты, в ходе которых контролировали следующие параметры: время гидратации гипса, пластическую прочность, предел прочности при изгибе плит через 16, 30 мин, 1, 2 ч и сухих.

Материал был изготовлен со средней плотностью в сухом состоянии 390—420 кг/м³. Кинетику структурообразования и прочность пеногипса регулировали путем введения измельченного двуводного гипсового камня. В качестве ускорителя твердения был опробован также и хлористый калий, но при его введении резко снижалась прочность и повышалась круплость изделий. Поэтому дальнейших исследований с применением NaCl не проводили.

При выполнении работы были использованы гипсовые вяжущие марки Г-5 АП (β-модификации) Душанбинского гипсового завода, марки Г-10 АП (α-модификации) Куйбышевского гипсового завода, поливинилакетатная дисперсия 50%-ной концентрации, молотый гипсовый камень, минеральная вата с насыпной плотностью 75 кг/м³. Алма-Атинского комбината строительных материалов и пенообразователь «сульфандол» — калий алкилбензолсуль-

Таблица 1

Гипсовое вяжущее вещество	Остаток на сетке 0,4 мм, %	Нормативный вре- мя теста, м	Сроки схватывания, мин		Предел прочности через 2 ч, МПа	
			начало	конец	при изгибе	при сжатии
β- гипс	18 4	56 42	9 10,5	11 14	2,5 5,5	5,1 10,5

фонат на основе карбоната $\text{Ca}_{0.2}\text{Na}_0.8\text{H}_2\text{SO}_4\text{Na}$, где $n=12..18$.

Физико-механические свойства гипсовых вяжущих показаны в табл. 1.

Полимерные и волокнистые компоненты вводили в смесь для частичной компенсации сброса прочности, обусловленного поризации массы. Расход их был постоянным для всех составов.

Водотпасовое отношение назначали из условия обеспечения текучести смеси (распыла по вискозиметру Суттарда 18—20 см). Для наших составов оно как для α-, так и для β-модификации равнялось 1. Кратность ленты получали в пределах 2,9—3,3.

Выбор двуводного гипса в качестве ускорителя твердения обусловлен его доступностью. Прежде всего при производстве отделочных гипсовых изделий, в частности, в процессе расформовки и складирования, как правило, образуются бракованные материалы, которые после сушки и измельчения можно использовать в качестве ускорителя. В то же время утилизируются отходы производства.

Исследования показали, что $\text{CaSO}_4 \cdot 2\text{H}_2\text{O}$ ускоряет гидратацию (рис. 1) и особенно структурообразование (рис. 2) пеногипсового камня. Причем, эти процессы более коротечны для вяжущего β-модификации. Так, время гидратации вяжущего β-модификации (рис. 1, а) сокращается с 27 мин (без добавки) до 14 мин с добавкой 2% $\text{CaSO}_4 \cdot 2\text{H}_2\text{O}$, т. е. почти в 2 раза.

Гидратация гипсового вяжущего α-модификации (рис. 1, б) без добавки заканчивается через 40 мин, а при введении 0,5 и 1% двуводного гипсового камня соответственно через 27 и 26 мин.

Однако во всех случаях время набора гипсовым вяжущим максимальной пластической прочности не совпадает

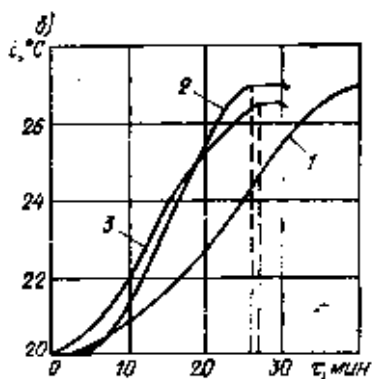
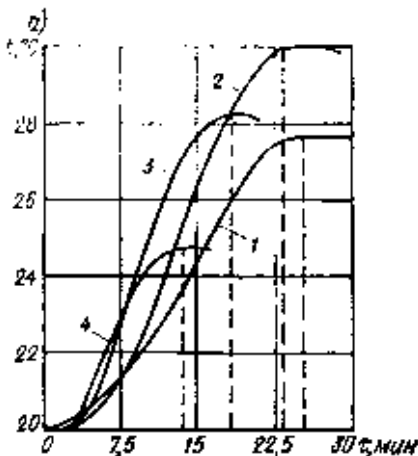


Рис. 1. Кинетика гидратации гипсогипса, полученного на основе гипсового вяжущего β -модифицированного (а) и α -модифицированного (б).
1 — без добавки $\text{CaSO}_4 \cdot 2\text{H}_2\text{O}$; 2 — с добавкой $\text{CaSO}_4 \cdot 2\text{H}_2\text{O} 0.5\%$; 3 — то же, 1%; 4 — то же, 2%.

со временем окончания его гидратации. Это объясняется тем, что, согласно теории гидратационного твердения минеральных вяжущих веществ, в частности применительно к гипсовым, после окончания процесса гидратации в искусственном гипсовом камне при наличии свободной влаги в порах материала начинают протекать процессы перекристаллизации, заключающиеся в растворении термодинамически неравновесных кристаллизационных контактов и росте свободных кристалликов двуводного гипса. При этом рост кристаллов является причиной возникновения внутренних растягивающих напряжений, приводящих к снижению прочности материала.

Как следует из рис. 2, а и 2, б, при твердении образцов, изготовленных на основе гипсового вяжущего β -модифицированного, наблюдаются сбросы прочности, в то время как в гипсовом вяжущем α -модификации пластическая прочность нарастает по возрастающей кривой. Эти данные также подтверждаются изменением прочностных показателей плит при изгибе в зависимости от времени приготовления пеногипсовой смеси (табл. 2).

Результаты исследований показали неэффективность изготовления пеногипсовых декоративных плит с использованием гипсового вяжущего β -модификации по конвейерной технологии. При введении двуводного гипса резко снижается прочность, а без введения

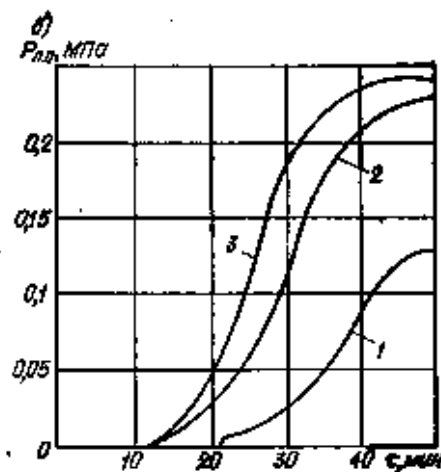
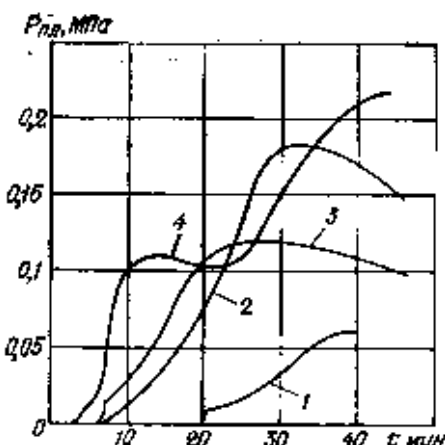


Рис. 2. Кинетика структурообразования пеногипса, полученного на основе гипсового вяжущего β -модификации (а) и α -модификации (б).
1 — то же, что на рис. 1.

Таблица 2

Плиты на основе гипсового вяжущего β-модификации	Содержание $\text{CaSO}_4 \cdot 2\text{H}_2\text{O}$	Прочность материала при изгибе, МПа, в за- висимости от времени тврдения, час				Прочность сухих образцов, МПа
		15	30	60	120	
В	0	—	0.07	0.18	0.18	0.78
	0.5	0.09	0.14	0.1	0.12	0.56
	1	0.1	0.1	0.1	0.09	0.36
	2	0.1	0.11	0.18	0.14	0.23
б	0	—	0.14	0.25	0.3	1.3
	0.5	—	0.21	0.22	0.27	0.96
	1	0.09	0.21	0.25	0.29	0.92

лоблоки прочность плит на изгиб даже через 2 ч составляет всего 0,15 МПа.

Пеногипсовые плиты на основе вяжущего α -модификации без введения ускорителя скватывания можно расформовывать через 1 ч, при этом прочность материала на изгиб в сухом состоянии составляет 1,3 МПа. Добавка $\text{CaSO}_4 \cdot 2\text{H}_2\text{O}$ позволяет сократить время расформовки до 0,5 ч, при этом прочность плит уменьшается на 26–29%, что находится в допустимых пределах. Из сказанного следует, что введение ускорителя гидратации гипсового вяжущего в пеногипсовые смеси оправдано при коротких технологических линиях, действующих на современных заводах.

Информация

Герметизирующая самоклеящаяся лента¹

В ЦНИЛ производственного объединения «Мосстройпластмасс» разрабатывается технология изготовления многослойной герметизирующей самоклеящейся пенополиуретановой ленты для герметизации окон и дверей.

Лента состоит из пенополиуретана, kleевого отвержденнного слоя, ПВХ пленки, «нейтрализующего клея» и защитной силиконизированной бумаги. Ширина и толщина ленты — 10 мм, длина — от 2 до 10 м.

Для изготовления ленты используют следующие сырьевые материалы: полиуретаковый эластичный поролон, поливинилхлоридную самоклеящуюся пленку, отверждаемую kleевую композицию, обеспечивающую прочное со-

единение пленки с поролоном.

Технология получения герметизирующей ленты заключается практически в двух операциях: в дублировании поролона с ПВХ пленкой и раскрытие полотнища на ленту шириной 10 мм.

Прочность ленты при разрыве колеблется в пределах 30–35 Н; относительное удлинение при принятой за минимальную разрывной нагрузке 15 Н составляет 15–20%; адгезионная прочность при отслеживании — 700–730 Н/м.

Таким образом, по физико-механическим свойствам и прочности прикрепления самоклеящаяся лента может применяться для герметизации окон и дверей в жилых и общественных зданиях.

Первые опытные партии герметизирующего материала выпущены в экспериментальном цехе ПО «Мосстройпластмасс».

¹ Карловский В. М., Кремлев К. В. Герметизирующая самоклеящаяся лента для оконных и дверных блоков / Пром-стъ строит. материалов. — 1989. — Вып. 7.

Е. Ф. ПАВЛИХИНА, инж., Л. Н. ЕФРЕМОВА, инж. (НИИкерамзит),
Л. К. ДИМАКОВА, инж., Л. С. ВЕРЕЩАГИНА, инж. (Пермский филиал ВИПО
ВНИИБ)

Особенности использования технических лигносульфонатов в производстве керамзитового гравия

Технические лигносульфонаты относятся к многотоннажным отходам целлюлозно-бумажной промышленности и находят все большее применение в отрасли строительных материалов [1—3]. Лигносульфонаты, содержащие в своем составе до 85% основного вещества в виде солей лигносульфоновых кислот с катионом соответствующим основанию варочной кислоты (натрия, аммония, кальция) до 10—15% солей сернистой и серной кислот, могут быть использованы в качестве корректирующей добавки при производстве керамзитового гравия.

Были проведены исследования по влиянию лигносульфонатов на процессы вспучивания глинистого сырья и разработке рекомендаций для керамзитовых предприятий по использованию данного отхода как органической добавки.

Исследованы 3 группы глинистого сырья, отличающиеся степенью вспучиваемости: средневспучивающаяся глина месторождения «Казарма» (Архангельская обл.) с коэффициентом вспучивания 2,8, с кажущейся плотностью 0,64 г/см³, интервалом вспучивания 45°C; слабовспучивающаяся глина Гнездовского месторождения (Смоленская обл.) с коэффициентом вспучивания 17, кажущейся плотностью 0,96, с интервалом вспучивания 10°C; невспучивающаяся глина Костаревского месторождения (Пермская обл.) с кажущейся плотностью 1,07.

Химический состав глинистого сырья месторождений, %: «Казарма» — SiO₂ — 62,74; SiO₂ (в виде кварца) — 25,72; Al₂O₃ — 15,22; Fe₂O₃ — 5,59;

FeO — 0,97; TiO₂ — 0,75; CaO — 1,4; MgO — 2,79; SO₃ — 0,24; R₂O — 4,54; п. п. — 5,76; органическое вещество — 0,78; Гнездовское — SiO₂ — 58,99; SiO₂ (в виде кварца) — 27,8; Al₂O₃ — 14,11; Fe₂O₃ — 3,4; FeO — 1,98; TiO₂ — 0,67; CaO — 5,19; MgO 2,59; SO₃ — 0,24; R₂O — 4,13; п. п. — 8,7; органическое вещество — 0,52; Костаревское — SiO₂ — 63,4; SiO₂ (в виде кварца) — 30,1; Al₂O₃ — 13,64; Fe₂O₃ — 4,73; FeO — 0,71; TiO₂ — 0,67; CaO — 2,87; MgO — 2,67; SO₃ — 0,27; R₂O — 6,58; п. п. — 5,6; органическое вещество — 0,63.

Общим для исследуемых глин является повышенное содержание кварца (минимальное — 25,7, максимальное — 30,1), незначительное количество оксидов железа (5,6—6,5%) и органических веществ (0,52—0,78), низкая пластичность (18,6—24,7). Поэтому целесообразно корректирование состава данных глин и в первую очередь органическим компонентом. В качестве добавки были использованы лигносульфонаты трех целлюлозно-бумажных комбинатов (Камского, Кондопожского и Балахнинского), отличающиеся катионным замещением в сульфогруппе (см. таблицу).

Термические свойства лигносульфонатов были изучены с помощью дериватографа Q-1600Д. Установлено, что для лигносульфонатов характерно поэтапное протекание термоокислительных процессов в интервале температур 300—700°C, сопровождающихся серией экзоэффектов с потерей веса до 50%. Эндотермические эффекты лигносульфонатов связаны с удалением влаги и плавлением образовавшегося зольного

остатка. Фиксируемый для лигносульфоната аммония высокотемпературный экзоэффект связан с образованием нового соединения.

Таким образом, лигносульфонаты в интервале температур 300—700°C при деструкции и окислении способствуют образованию и накоплению газов-восстановителей внутри гранулы. Это обеспечивает благоприятные условия, с одной стороны, для создания определенного пиропластического состояния глинистой массы и, с другой стороны, для выделения газообразных продуктов, участвующих в порообразовании.

С целью определения эффективности введения лигносульфонатов проводились лабораторно-технологические испытания, включающие в себя изучение влияния на степень вспучивания лигносульфоната и его количества. Для каждого состава обжигалось по 10 гранул, для которых затем определялось среднее значение плотности и прочности на раскалывание. За контрольный вариант сравнения принимался результат, полученный при введении в глинистое сырье в качестве вспучивающей добавки 0,5% отработанных масел.

Анализ данных показывает, что введение лигносульфонатов для всех групп сырья позволяет либо снизить плотность по сравнению с контрольным вариантом, либо сохранить его уровень.

Наиболее значимый эффект снижения плотности (на 0,3 г/см³) был получен на глинистом сырье месторождения «Казарма», отличающемся наименьшей залесочностью и более высоким содержанием железистых соединений. Заметное снижение плотности (до 0,42—0,46 г/см³) достигнуто при введении лигносульфонатов в запечченное сырье Костаревского месторождения.

Несколько худший, по аналогичному введению отработанных масел результат получен на глине Гнездовского месторождения, поскольку в ней повышенено содержание оксидов кальция (5,19%), которые оказывают не только флюсирующее, но и разжижающее действие, резко снижая вязкость. Поэтому часть образующихся газов будет выходить наружу, не задерживаясь в объеме гранулы и не производя работы по вспучиванию материала. Введение лигносульфонатов в такую глину, помимо ускорения окислительно-восстановительных реакций, усиливает процессы образования жидкой фазы и преждевременного удаления газов.

Очевидно, что эффект введения в глинистое сырье лигносульфонатов плен-

Корректирующая добавка	Массовая доля сухих веществ, %	Плотность, г/см ³	pH 20%-ного раствора, ед. pH	Содержание компонентов, % в массовой доле сухих веществ						
				лигносульфонатов	золы	редукционных веществ	общ.	N ₄	Ca	N
Лигносульфонат ватрия Камского целлюлозно-бумажного комбината	46,7	1,2	4,03	73	16,4	6,8	6,32	7	0,6	0,18
Лигносульфонат кальция натрия Кондопожского целлюлозно-бумажного комбината	50	1,21	4,45	75	16	10	—	3	5,5	0,7
Лигносульфонат аммония Балахнинского целлюлозно-бумажного комбината	60	1,18	4,16	70	1,28	8,77	7,8	0,4	0,1	4,2

тическим отработанным частям, а оптимальное количество вводимых лигносульфонатов находится в пределах от 1 до 2% в зависимости от свойств глины. Четкой зависимости вспучиваемости сырья от катиона замещения лигносульфоната не прослеживается, однако в глинистое сырье с повышенным содержанием щелочно-земельных элементов не рекомендуется добавлять лигносульфонаты, содержащие катион кальция.

Лабораторные результаты исследований были подтверждены опытно-промышленными испытаниями на Пермском заводе крупнопанельного домостроения и Базымянском опытном керамзитовом заводе.

В зависимости от агрегатного состояния лигносульфонатов различаются способы их введения в глинистое сырье. Так, жидкие лигносульфонаты могут вводиться либо в товарном виде (жидкость плотностью 1220—1250 кг/м³), либо в виде 30—45% водного раствора (жидкость плотностью 1180—1210 кг/м³). Узел для введения жидких лигносульфонатов включает емкость-хранилище, расходную емкость (обогреваемую в случае подачи товарного лигносульфоната), емкость приготовленного раствора, насосы, трубопроводы,

вентили, распределительное устройство. Для равномерного распределения жидкого лигносульфоната в глинистой массе вводить их рекомендуется непосредственно в глиносмеситель.

При необходимости корректировки глинистого сырья порошкообразным лигносульфонатом в технологии надо предусматривать склад хранения добавки, бункер запаса, дозирующее и пересыпное устройства. Аналогично жидким порошкообразные лигносульфонаты также целесообразно вводить в глиносмеситель.

По своим свойствам лигносульфонаты принадлежат к пожаро- и взрывобезопасным веществам. По степени действия на организм они относятся к 4-му классу опасности (вещества малоопасные) по ГОСТ 12.1007—85.

На основе данных, полученных в лабораторных и заводских условиях, а также сведений из технической и нормативной документации были разработаны рекомендации по использованию технических лигносульфонатов в производстве керамзитового гравия, которые содержат основные сведения по характеристике лигносульфонатов, способы их введения в глинистое сырье, правила по технике безопасности, а

также условия поставки и хранения лигносульфонатов.

Замена продуктов нефтепереработки на лигносульфонаты при производстве керамзитового гравия позволяет получить определенный экономический эффект. Для введения лигносульфонатов могут быть использованы приемы и оборудование, используемые при добавлении мазута и др. Кроме того, лигносульфонаты по сравнению с нефтепродуктами являются веществами более чистыми и безопасными в экологическом отношении.

СПИСОК ЛИТЕРАТУРЫ

- Сапотинский С. А. Использование сульфитных щелочей. — 3-е изд., перераб. и доп. — М.: Лесн. пр-сть, 1981.
- Касандруло Б. А., Пономарев Ю. Е., Андреев Р. А. Получение теплоизоляционных плит на основе вспученного перлитового песка и лигносульфонатов // Строй. материалы. 1981, № 11.
- Окунев С. П. Производство керамзита. — 3-е изд., перераб. и доп. — М.: Стройиздат, 1987.
- Гимаева Р. Г. Современное состояние и перспективы использования технических лигносульфонатов в народном хозяйстве: Тез. докл. Всесоюзного научно-техн. семинара «Расширение использования технических лигносульфонатов в народном хозяйстве». — М., 1987.

УДК 666.875.2.556.2

Н. В. ПАК, инж. (Новокузнецкое отделение УралНИИстрампроекта)

Теплопроводность шлакобетона

В жилищном строительстве, особенно малоэтажном, в последнее время широкое применение находят шлакобетоны разных видов. В регионах, в которых развита металлургическая промышленность, шлакобетон изготавливают с применением доменного гранулированного шлака, в других — котельного шлака. Пробуют получать бетон из зол и шлаков ТЭЦ и ГРЭС.

Шлакобетон применяют для устройства наружных ограждающих конструкций.

В связи с этим важное значение приобретает знание его теплотехнических качеств. Последние (см. СНиП II-3-79**) изучены хуже, чем у керамзитобетона или перлитобетона. Поэтому, разыскивая составы шлакобетонов, следовало бы, кроме определения прочности, морозостойкости, поглощаемости и других физико-механических параметров, устанавливать и теплотехнические характеристики.

Представляет интерес вопрос о влия-

нии состава шлакобетона на его теплотехнические свойства, в частности на теплопроводность, а также оценка этого материала в наружных ограждениях отапливаемых зданий. Ниже приведены результаты исследований (табл. 1) применительно к климатическим условиям г. Новокузнецка (Кемеровская обл.).

Шлакобетонные изделия формовали с применением котельного, доменного гранулированного шлаков, золы и шлака ТЭЦ и ГРЭС. Вяжущими служили портландцемент марки М 400, шлакопортландцемент марки М 300 и известково-шлаковое вяжущее. Составы бетонов и их свойства в сухом состоянии приведены в табл. 1.

Из приведенных данных ясно, что теплопроводность шлакобетона, изготовленного на основе доменного гранулированного шлака и шлакопортландцемента средней плотностью 1540 кг/м³ в высушенному состоянии (состав 3), равна 0,36 Вт/(м·°C). Это почти на 20% ниже, чем показатели по СНиП.

Использование котельного шлака в бетоне позволяет значительно снизить его плотность. Так, шлакобетон на котельном шлаке (состав 1) имеет плотность 1285 кг/м³, т. е. он стал легче более чем на 200 кг/м³ и имеет тепло-

Таблица 1

№ состава	Расход материалов на 1 м ³ бетона, кг	Плотность бетона, д/сух кг/м ³	Теплопро- водность, λ _{сух} Вт/(м·°C)
1	Шлак котельный 1000+известково-шлаковое вяжущее 260	1285	0,4
2	Шлак котельный 1000+портландцемент 100+гусеник 200	1316	0,48
3	Шлак гранулированный 1340+шлакопортландцемент 190+СДБ 6,0%	1540	0,36
4	Шлак ГРЭС 400+зола ТЭЦ 300+портландцемент 300+мо- ющие средство «Прогресс» 0,6 кг+NaCl 3 кг+алюмини- евая пудра 50 г	1283	0,4
5	Шлак гранулированный 350+зола ТЭЦ 300+портландце- мент 300+моющее средство «Прогресс» 0,6 кг+алюмини- евая пудра 50 г	1312	0,38
6	Зола ТЭЦ 720+портландцемент 200+известка 50+пыль ферросилиции 30+моющее средство «Прогресс» 0,3%+ —NaCl 1%+алюминиевая пудра 0,5 г	962	0,26
7	Зола ТЭЦ 720+шлакопортландцемент 200+известка 50+ —пыль ферросилиции 30+СДБ 0,8%+моющее средство «Прогресс» 0,3%+NaCl 1%+алюминиевая пудра 0,5 г	1025	0,24

проводность $0,4 \text{ Вт}/(\text{м} \cdot ^\circ\text{C})$, что соответствует данным СНиП для этого бетона. С заменой вяжущего на портландцемент (состав 2) несколько ухудшились эти показатели: плотность повысилась до $1816 \text{ кг}/\text{м}^3$, а теплопроводность — до $0,43 \text{ Вт}/(\text{м} \cdot ^\circ\text{C})$.

Плотность бетона может быть снижена путем поризации бетонной смеси (см. табл. 1, составы 4 и 5). Причем, этот показатель для бетона на гранулированном шлаке несколько меньше, чем на шлаке ГРЭС, что, по-видимому, связано с более плотной структурой последнего. Теплопроводность бетона, изготовленного на гранулированном шлаке, на 20% ниже, чем при использовании шлака ГРЭС. Это можно объяснить не только более плотной структурой шлака ГРЭС, но и влиянием вяжущего — шлакопортландцемента.

Снижение теплопроводности бетонов на шлакопортландцементе по сравнению с этим показателем у бетонов на портландцементе видно на газозолобетонных составах 6 и 7.

Исследовано влияние влажности бетонов на их теплопроводность. Результаты (рис. 1 и 2) свидетельствуют, что у шлакобетонов на котельном шлаке зависимость теплопроводности от влажности практически прямолинейная; теплопроводность материала увеличивается на величину $0,023 \text{ Вт}/(\text{м} \cdot ^\circ\text{C})$ на

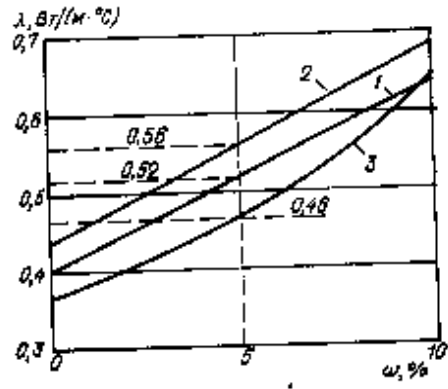


Рис. 1. Зависимость теплопроводности шлакобетона от его влажности
1 — состав 1 (см. табл. 1); 2 — то же, 2; 3 — 3

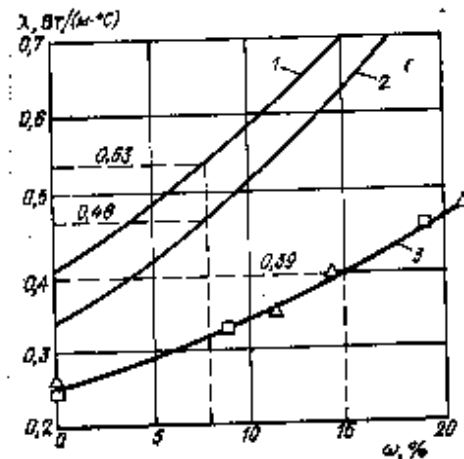


Рис. 2. Зависимость теплопроводности портландшлакобетона и газозолобетона от их влажности
1 — состав 4; 2 — то же, 5; 3 — 6 и 7 (Δ) и 7 (□)

каждый процент влажности. У шлакобетона на гранулированном шлаке, у поризованного шлакобетона, а также у газобетона изучаемый показатель увеличивается в зависимости от влажности более медленно.

Данные исследований позволяют определить расчетное значение теплопроводности бетонов. Согласно СНиП II-3-79** для сухих и нормальных условий эксплуатации в зонах сухой и нормальной влажности, что соответствует условиям эксплуатации жилых зданий в г. Новокузнецке (условия А), расчетная влажность шлакобетонов на котельном и гранулированном шлаках нормируется 5%. При этой влажности теплопроводность шлакобетона состава 1 (см. табл. 1) равна $0,52 \text{ Вт}/(\text{м} \cdot ^\circ\text{C})$, а для составов 2 и 3 соответственно $0,56$ и $0,46 \text{ Вт}/(\text{м} \cdot ^\circ\text{C})$, т. е. шлакобетон на гранулированном шлаке, несмотря на значительно более высокую плотность, чем у бетона на котельном шлаке, характеризуется наименьшим расчетным значением коэффициента теплопроводности.

Плотность бетона значительно снижается при поризации бетонной смеси, но при этом, как правило, повышается расчетная влажность: для поризованного шлакобетона (по аналогии со шлакобетоном) для условий А составляет 8%. Отсюда получаем расчетные значения теплопроводности

для состава 4 $\lambda_{расч}=0,53$, состава 5 — $0,46 \text{ Вт}/(\text{м} \cdot ^\circ\text{C})$, т. е. такие же, как у непоризованных шлакобетонов составов 1 и 3.

Наименьшими плотностью и теплопроводностью характеризуются газобетоны (см. табл. 1, составы 6 и 7). Расчетная влажность у таких бетонов, согласно СНиП, $\omega_{расч}=15\%$, чему соответствует по данным, приведенным на рис. 2, расчетное значение теплопроводности $\lambda_{расч}=0,39 \text{ Вт}/(\text{м} \cdot ^\circ\text{C})$. Это значительно ниже, чем у шлакобетонов разных модификаций.

На основании полученных результатов рассчитаны толщины стен, изготовленных из исследованных бетонов, а также расходы бетонов и вяжущих материалов на 1 м² ограждения.

По условиям тепловой инерции отражающие конструкции из исследованных бетонов классифицируют как массивные с тепловой инерцией 7 и более. Следовательно, требуемое сопротивление теплопередаче ограждающей конструкции из однослоистого шлакобетона для жилых зданий в условиях г. Новокузнецка составляет, м²·°C/Вт,

$$R_o^{IP} = \frac{n (t_a - t_b)}{\Delta t_b d_b} = \frac{22 + 39}{6 \cdot 8 \cdot 7} = 1,17.$$

Согласно СНиП II-3-79** (табл. 9, п. 2), сопротивление теплопередаче ограждающей конструкции из однослоистого шлакобетона следует принимать равным

$$R_o = R_o^{IP} r_{\phi} = 1,17 \cdot 1,1 = 1,29,$$

а из однослоистого ячеистого бетона

$$R_o = R_o^{IP} r_{\phi} = 1,17 \cdot 1,3 = 1,52.$$

По этим данным нетрудно определить толщины стен из исследованных бетонов (табл. 2). Так, для климатических условий г. Новокузнецка, согласно техническим требованиям, наружные стены из шлакобетона в жилых зданиях должны иметь толщину не менее 0,5 м; толщина — 0,5 м определена для бетона на гранулированном шлаке.

Толщина стены из шлакобетона на котельном шлаке должна быть уже 0,6 м. Стены из поризованных шлакобетонов (табл. 1, составы 4 и 5) имеют такую же толщину, как из бетонов других составов. Ограждающие конструкции из газозолобетонов составов 6 и 7 имеют толщину 0,55 м.

Расход бетона и вяжущих (цемента, известки и др.) на 1 м² стены, примененной к унифицированной толщине ограждения, показан на рис. 3. Наименьшим оказывается расход поризованных и ячеистых бетонов при формовании из них ограждающих конструкций. Если оценивать материал по расходу вяжущего на 1 м² стены, то неравномерность показателя имеет обычный шлакобетон на докленном гранулированном шлаке — 95 кг на 1 м² стены. Хуже в теплотехническом отношении проявляют себя бетоны на шлаках ГРЭС, сказывается, по-видимому, их плотная структура.

Можно сделать вывод, что теплотехнические качества стеновых материалов следует прогнозировать на уровне их разработки с учетом конкретных условий эксплуатации и района строительства.

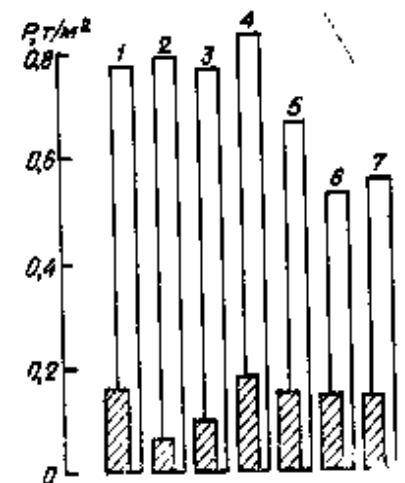


Рис. 3. Расход материалов на 1 м² ограждения
— 1 — № составы (см. табл. 1); □ — бетон; ■ — вяжущее

Таблица 2

Влажность ω, %	Расчетные характеристики шлакобетонов для условий	Толщина стены, м	
		расчетная	унифицированная
5	0,52	0,58	0,6
5	0,56	0,62	0,6
5	0,46	0,52	0,6
3	0,53	0,59	0,6
3	0,58	0,52	0,6
2	0,60	0,54	0,55
15	0,39	0,54	0,55
15	0,39	0,54	0,55

О. И. ЛАРГИНА, канд. техн. наук, Е. А. БОРИСЮК, канд. техн. наук (МИСИ им. В. В. Куйбышева), М. З. КАГАН, канд. техн. наук, М. Г. ВОЛЧЕНКОВ, инж., А. Д. КЛИБАНОВ, инж. (Очаковский завод ЖБК Мосметростроя)

Возможность использования многокомпонентных цементов в строительстве

На Очаковском заводе железобетонных конструкций Мосметростроя проводились испытания быстротвердеющего цемента, разработанного в МИСИ им. В. В. Куйбышева. Вяжущее получено на основе Михайловского портландцемента М 500 (80—90%) с введением в него во время домола сульфоалюминатного компонента. Удельная поверхность цемента составила 3120 см²/г (вместо 4000—5000 см²/т по ТУ).

Нормальная густота БТЦ близка к показателю нормальной густоты портландцемента той же степени помола (в нашем случае Михайловского ПЦ М-500). Начало и конец схватывания вяжущего по ТУ должно наступать соответственно через 5—30 мин и 15—50 мин, однако в действительности данный БТЦ имел более замедленные сроки схватывания.

Из полученного вяжущего на заводе готовилась бетонная смесь в соответствии с применяемой технологией (агрегатно-поточной) и формировались блоки тоннельной обделки диаметром 5,5 м. Одновременно с целью сопоставления формковались блоки из здолбуновского портландцементе М-600 и отбирались пробы для изготовления кубов-образцов размером 10×10×10 см. Технология формования изделий и состав бетона (кроме расхода воды) парных блоков из БТЦ и ПЦ М-600 были одинаковыми (табл. 1).

Для получения равноподвижных бетонных смесей при формировании на БТЦ расход воды увеличивался (В—Ц порядка 0,4—0,42), что сказалось на уменьшении средней плотности бетона. Все парные блоки проходили либо тепловлажностную обработку при $T=80^{\circ}\text{C}$ по режиму 2+2+7+2 ч (1,5+2+6+1,5 ч), либо твердение в естественных условиях. Заданные показатели и результаты испытаний представлены в табл. 2.

Тип вяжущего	Заданная осадка кокуса (OK), см	Расход материалов в кг/м ³ бетона				B/11
		Цемент	Песок	Щебень	Добавка С-3, % от массы цемента	
ПЦ-600	1—4	330	780	1200	0,5	0,38—0,4
БТЦ	1—4	330	780	1200	0,6	0,4—0,42

Вид цемента	Добавка С-3, % от массы цемента	OK, см	Средняя плотность образца испытания, кг/м ³	Предел прочности при сжатии, МПа, по режимам твердения	Нормальное твердение		
					Тепловлажностная обработка	3 сут	28 сут
БТЦ	0,5	3	2425	—	27,6	39	54,6
М-600	0,5	2	2580	—	24	34	53,8
БТЦ	0,5	3,5	2375	—	25,2	40,4	55,5
М-600	0,5	2,5	2475	—	25,3	42,7	50,1
БТЦ	0,6	1,5	2490	33,9	—	—	58,9
М-600	0,6	2	2495	36,7	—	—	60,8
БТЦ	0,6	3	2400	30,8	—	—	58,1
М-600	0,6	2	2450	48,9	—	—	51,2

Вид вяжущего	Блоки, выдержанные при испытаниях 3 атм в течение 72 ч более часов	Блоки, имеющие точки фильтрации при давлении		
		3 атм через 48 ч	2 атм	1 атм в максимуме
Здолбуновский ПЦ М-600	0	17	9	63
БТЦ М-500	46	18	9	27

Как видно из табл. 2, прочностные характеристики бетона суточного возраста после тепловлажностной обработки у образцов на БТЦ (марки 500) несколько ниже, чем у образцов на

здолбуновском цементе М-600, однако при нормальном твердении прочность образцов на БТЦ в том же возрасте не уступает показателям прочности на цементе 600, а к 28 сут уже превышает. Испытания блоков на водонепроницаемость проводились в цехе завода из одиночного стекла по методике ЦНИИСа. К сожалению, из-за большого количества отбракованных блоков (по технологическим причинам) не удалось провести сравнительную оценку тюбингов в полном объеме. Из запланированных 26 блоков было испытано 11 тюбингов на основе БТЦ и 6 тюбингов на основе ПЦ М-600.

В табл. 3 дана дифференцированная оценка результатов испытаний на водонепроницаемость блоков по количеству образцов на основе цементов БТЦ и М-600.

Как видно из таблицы, показатель водонепроницаемости у блоков на основе БТЦ значительно выше, что можно объяснить спецификой формирующейся поровой структуры за счет многокомпонентного состава БТЦ.

Проведенная работа выявила преимущества БТЦ (марки 500) в сравнении с портландцементами М-600 Здолбуновского цементно-шиферного комбината. Это проявилось в повышенных прочностных показателях, особенно при нормальном твердении изделий и в показателях водонепроницаемости. Имеются большие резервы дальнейшего повышения этих показателей за счет использования в основе БТЦ портландцементов более высоких марок и увеличения тонкости помола вяжущего.

Совместное сотрудничество Очаковского завода железобетонных конструкций Мосметростроя и МИСИ им. В. В. Куйбышева в этом направлении целесообразно продолжать.

На пленуме Центрального правления ВХО им. Д. И. Менделеева

Состоялся III пленум ЦП ВХО им. Д. И. Менделеева, рассмотревший вопрос об участии организаций химического общества в решении задач развития приоритетных направлений силикатной науки и технологии, обеспечивающих удовлетворение потребностей жилищного строительства в строительных материалах.

Государственная научно-техническая программа «Стройпрогресс-2000», разработанная Госстроем СССР, вобрала в себя широкий круг проблем, решение которых позволит осуществить планы экономического и социального развития в следующей пятилетке и достичь намеченного на рубеже столетия. Стремясь внести реальный вклад в развитие технического прогресса строительного комплекса страны и практически содействовать материальному обеспечению реализации жилищной программы, предусматривающей обеспечение к 2000 году каждой семьи отдельной квартирой или индивидуальным домом, научные, возглавляющие важнейшие научные направления в институтах и организациях промышленности строительных материалов, разработали пакет альтернативных проектов. Это вызвано необходимостью сочетания возможностей фундаментальных и прикладных исследований, концентрация всех усилий и средств государственных и общественных организаций, научных школ, вузовской науки.

С докладом о приоритетных направлениях исследований в химии силикатов выступил академик М. М. Шульц, директор Института химии силикатов АН СССР. Назавав направления фундаментальных исследований, докладчик изложил суть проекта, в реализации которого головной организацией будет возглавляемый им институт. Результатом работ должно стать создание новых видов вяжущих, стекла, керамики, композиционных материалов, обеспечивающих индустриализацию и повышение технического уровня строительства, его экономичность. Их получение будет базироваться на принципиально новых ресурсосберегающих технологиях. Определены реальные сроки разработок.

Состояние и перспективы фундаментальных и прикладных исследований, обеспечивающих техническое перевооружение предприятий промышленности строительных материалов, осветил генеральный директор «Строминицентра» канд. хим. наук М. И. Котов. Исходя из потребности обеспечить строительными материалами строительство жилья в объеме 1 млрд. м² к 2000 году, уже в наступившем году производство материалов необходимо увеличить на 30—40%, а в 1995 г.—в 2—3 раза. Традиционные способы увеличения производства за счет строительства новых за-

водов или частичной реконструкции старых на базе усовершенствованной технологии в складывающейся ситуации не подходят. Таким образом, требуются принципиально новые технологические и технические решения, которые могут быть обеспечены только совместными усилиями ученых, развивающих фундаментальные науки, и деятелей отраслевой, прикладной науки. Современное строительство нуждается в качественно новых строительных материалах, обладающих существенно более высокими потребительскими свойствами. Международная строительная практика свидетельствует о возможности создания и организации широкого применения композиционных материалов. Были подняты вопросы финансирования научных работ. Принципиальные организационные вопросы переработки технологических продуктов, образующихся в различных отраслях народного хозяйства, внесены предложения по более тесному сопряжению научно-технических программ, создаваемых для развития и прогресса строительного комплекса страны.

Доклад, подготовленный ректором МХТИ им. Д. И. Менделеева, профессором П. Д. Саркисовым и зам. директора Государственного института стекла, канд. техн. наук Д. Л. Орловым, был посвящен приоритетным направлениям исследований в химии и технология стекла. Новые энергосберегающие технологии основываются на интенсификации теплообменных процессов, предусматривают применение принципиально новых стекловаренных агрегатов. Совершенствуются составы стекол, исследуются нетрадиционные методы получения стекла. Перспективными материалами является листовое стекло с заданными спектральными и прочностными характеристиками, предназначенное для различных областей строительства—жилых домов, лечебных учреждений, теплиц и т. д.

Среди технологических приемов должны совершенствоваться различные методы пленочных покрытий, упрочнений стекла. Важные направления—развитие производства стекловолокна, используемого в бетонах и других композиционных материалах, для тепло- и звукоизоляции, декоративных, облицовочных материалов, новых разновидностей стеклокристаллических материалов, труб и арматуры из стекла и др. Упомянутые здесь и другие направления развиты в соответствующие проекты, альтернативно дополняющие программу «Стройпрогресс-2000».

Генеральный директор НПО «Цемент», д-р техн. наук И. В. Удачkin выступил с докладом на тему «Приоритетные направления исследований в химии и технологии цемента». Напомним о том,

что работы советских ученых в свое время создали им авторитет в научных кругах на международной арене, докладчик сосредоточил внимание на перспективных современных разработках, особенно на обещающих реальный выход в практику цементного производства. Среди перечисленных направлений—комплексные исследования сырьевых материалов, термический анализ сырья, термический процесс обжига клинкера, минерализация при обжиге, разработка новых типов добавок к цементам, особенно искусственно синтезированных, работы по теории гидратации цемента. Обращено внимание на сдерживание уровня научных исследований по кристаллохимии цемента из-за слабого оснащения научных организаций современными техническими средствами, аппаратурой и т. д. Указаны направления научного поиска в важнейших процессах технологии—обжига, помола, выявление перспективных работ в области применения нетрадиционных обжиговых агрегатов (без вращающихся печей).

Докладчик подчеркнул, что принципиально новые вяжущие материалы—вязущее низкой водопотребности (ВНВ) и тонкокомолотые цементы (ТМЦ) вскрывают огромные резервы экономии клинкера, но ставят ряд существенных и неотложных вопросов, касающихся состава нового вяжущего материала.

Заместитель директора института ВНИИстрем им. П. П. Будникова канд. техн. наук С. М. Медин осветил новые виды и способы производства материалов, разработанные ВНПО стекловых и вяжущих материалов. В условиях острого недостатка стекловых и вяжущих материалов, который ощущается в строительстве, особенно необходимо использовать для наращивания объемов производства широкое использование отходов, попутных продуктов, а также развитие базы местных вяжущих материалов. Весьма перспективным направлением признано использование ВНВ для изготовления яичистых бетонов. Работы по определению наиболее рациональных направлений использования ВНВ в производстве различных видов бетонов вошли в перечень важнейших проектов.

Докладчик остановился на каждом направлении деятельности ВНПО—материалах керамических, силикатных, гипсовых и др.

На опыте работы временных творческих коллективов ВХО им. Д. И. Менделеева в совершенствовании действующих и разработке новых технологических процессов и аппаратов в производстве строительных материалов остановился в своем докладе член президиума ЦП ВХО им. Д. И. Менделеева, д-р техн. наук, профессор Х. С. Воробьев. Опираясь на анализ практической деятельности ряда организаций, докладчик показал, что хозрасчетная деятельность научных учреждений реальная. Для ее успешной реализации необходимы коренные изменения в сложившейся системе планирования и финансирования исследовательских и опытно-конструкторских работ.

Перед участниками пленарного заседания выступил председатель Государственной комиссии по промышленности строительных материалов П. П. Золотов. Он ознакомил научную и инженерную

общественность с задачами и структурой ассоциаций, подчеркнул значительную роль интеграции всех усилий ученых-теоретиков и специалистов отраслевых научных институтов и организаций в развитии приоритетных направлений силикатной науки и технологий.

В обсуждении повестки дня пленума приняли участие представители институтов и вузов Москвы, Ленинграда, Риги.

Пленум принял постановление считать важнейшим направлением деятельности Всесоюзного химического общества им. Д. И. Менделеева участие в решении задач ускоренного развития приоритетных направлений силикатной науки и технологии, направленных на полное удовлетворение потребностей строительства прогрессивными строительными материалами, в том числе в решении следующих задач:

— создание вяжущих материалов (ГМЦ, алюминитовых, магнезиальных, гипсовых и др.), обеспечивающих снижение топливно-энергетичности до двух раз в производстве и их расхода при изготовлении изделий;

— разработка теплоизоляционных процессов и агрегатов для производства плавленых и обжиговых строительных

материалов на основе топливодержащих зол и отходов углеобогащения (шлакового гранулята, цементного клинкера, пористых заполнителей и др.), обеспечивающих снижение расхода топлива в два-три раза по сравнению с полученным этих материалов из природного сырья;

— создание высокоеффективных видов ячеистого бетона с заданными свойствами на основе новых видов вяжущих и полимерных материалов и оборудования для высокоматричного производства;

— разработка технологии и оборудования для производства шелочестойких волокон на основе минерального и органического сырья для композиционных строительных материалов, изделий и конструкций;

— создание керамических конструкционных материалов для различных отраслей машиностроения, в том числе сохраняющих высокую прочность при температуре 1200°C;

— создание техники и технологии соединения стекла и теплопоглощающего стекла, листового стекла, стеклотонких композиций с пленочным покрытием; крупноразмерного закаленного стекла, стеклопакетов с использованием

высококачественных герметиков, дверных и оконных коробок из жестких конструкционных полимеров;

— создание и освоение промышленного производства эффективных полимерных битумно-полимерных, композиционных рулонных и мастичных кровельных и гидроизоляционных материалов;

— создание и освоение промышленного производства отделочных полимерных материалов, линолеума, леноутеплителей и др.;

— разработка техники и технологии эффективных теплоизоляционных материалов на основе минерального и полимерного сырья.

В постановлении пленума нашли отражение также рекомендации по созданию на ходорасчетной основе временных творческих коллективов для выполнения научно-исследовательских и опытно-конструкторских работ по приоритетным направлениям, по усилению внимания и поддержки молодым ученым, по развитию специализированного туризма за рубеж с целью участия в международных конгрессах, симпозиумах, семинарах по проблемам приоритетных направлений.

Рефераты опубликованных статей

УДК 622.355.1.001.24.4

Косолапов А. И., Волченко Н. И. Определение параметров технологии добчи блоков из мрамора наварычеватым разрушающим средством // Стройт. матер. 1990, № 1, С. 8—9. Приведена методика лабораторных исследований процесса разрушения мрамора наварычеватым разрушающим средством при добчи блоков из мраморного камня. Показан переход от лабораторных промышленных установок. Дан метод расчета параметров технологии добчи блоков с учетом прочности камня, давления, развиляемого НРС на стекла шашки, его радиуса, времени нагружения и ангиотропии прочностных свойств. Доказана экономическая целесообразность применения НРС для добчи высокопрочного мрамора. Ил. 2, табл. 8.

УДК 62-763.5.628.54

Мелкозеров И. М., Немцова Т. И. Защита поверхностей пыльящих материалов полимерной пленкой // Стройт. материалы. 1990, № 1, С. 10—11. Предложен способ предотвращения пыления сильных материалов при их транспортировке и хранении, заключающийся в обработке их полимерным составом. Описана установка по приготовлению полимерного состава и назначение его на пыляющую поверхность. Приведены составы полимерных пылезащитных композиций и характеристики полученных из них плаков. Показана возможность улучшения физико-механических свойств полимерных пленок путем введения поверхностно-активных веществ. Ил. 1, табл. 1.

УДК 691.33

Композиционные ПВХ-полимерные материалы, имитирующие природный камень / А. П. Меркин, Л. Э. Витальс, С. А. Юматов, Р. Г. Петровская // Стройт. материалы. 1990, № 1, С. 16—17. Рассмотрены возможность получения пленочных декоративных плит из полимерных композиций — реакционноспособных полимер-олигомерных систем и отходов от разработки природного камня. Изучены специфические особенности в условиях совмещения силикофибропластика и эмульсионного поливинилхлорида (ПВХ), а также роль наполнителя в отделочном материале. Показана зависимость прочностных свойств последнего от состава и природы наполнителя. Описаны физико-механические и эксплуатационные свойства ПВХ-полимерных декоративных плит. Приведены их технико-экономические характеристики. Сделан вывод о возможности применения нового отделочного материала для внутренней отделки различных зданий и сооружений, а также облицовки фасадов домов в районах с мягким климатом. Ил. 2, табл. 1, библ. 6.

УДК 686.84+694.327

Получение и изучение свойств крупного всученного термолитового гравия / И. Л. Грубинков, Т. Г. Лулебко, Н. А. Автушевко, Б. В. Талпе // Стройт. материалы. 1990, № 1, С. 17—18. На основе экспериментальных исследований установлено пригодность опок некоторых месторождений Северного Кавказа (с добавками топливных плаков и легкоплавких глин) для получения высококачественного термолитового гравия по порошковому методу. Приводятся физико-механические характеристики, в т.ч. львиные климатических испытаний и результаты исследований химической стойкости полученных материалов. Разработанный термолитовый гравий рекомендуется в качестве заполнителя для химически стойких легких бетонов. Табл. 4, библ. 7.

УДК 606.961—462.001.24.4

Киселев А. А., Межотских М. И., Пахомов А. Л. Прочностные и деформационные свойства напорных асбестоцементных труб при поперечном изгибе // Стройт. материалы. 1990, № 1, С. 19—20. Показаны прочностные и деформационные свойства асбестоцементных напорных труб наружным диаметром 234 и 324 мм, длиной 5 м, которые предлагаются для опытного применения в качестве свай. Опытных путях установлено средние экспериментальные значения модуля упругости асбестоцементных труб и их примерное разведение нормативному значению этого показателя для листового асбестоцемента. Сделаны рекомендации относительно физико-механических показателей для изборных асбестоцементных труб, позволяющих использовать последние в качестве свай. Ил. 1, табл. 1, библ. 7.

УДК 678.743.22.69.026.2

Евсеев Ю. Е., Сирков Б. П. Переходы окон из материалов на основе поливинилхлорида // Стройт. материалы. 1990, № 1, С. 20—22. Показаны результаты исследования физико-технических свойств оконных профилей на ударопрочного ПВХ. Показано влияние на ударную вязкость, модуль упругости при растяжении и изгибе, разрушающее напряжение при растяжении ПВХ материалов компонентов рецептур, типа перерабатывающего оборудования, технологических параметров формования оконных профилей. Установлена возможность получения ПВХ материалов для переходов окон на основе сырья отечественного и стран — членов СЭВ. Табл. 2, библ. 6.

УДК 666.914+691.175

Садуакасов М. С. Влияние $\text{CaSO}_4 \cdot 2\text{H}_2\text{O}$ на структурообразование и прочность пеногипса // Стройт. материалы. 1990, № 1, С. 22—23. Рассмотрено влияние $\text{CaSO}_4 \cdot 2\text{H}_2\text{O}$ на процесс гидратации пеногипса и на скорость набора им пластической прочности. Установлено, что введение до 2% $\text{CaSO}_4 \cdot 2\text{H}_2\text{O}$ сокращает сроки гидратации пеногипса, полученного на основе гипсового вяжущего β -модификации, с 27 до 14 мин. и изготовленного на вяжущем α -модификации с 40 до 28 мин. По результатам исследований для получения отделочных акустогидроизоляционных плит рекомендуется использовать гипсовое вяжущее α -хидратацию. Ил. 2, табл. 2.

УДК 666.976.2.636.2

Пах Н. В. Теплопроводность шлакобетона // Стройт. материалы. 1990, № 1, С. 25—26. Рассмотрена теплопроводность шлакобетона в зависимости от его состава, вида заполнителя, вяжущего, добавок, а также от степени порозности. Показано влияние этих факторов на зависимость теплопроводности материала от его влажности. Сделана оценка теплотехнических свойств шлакобетона в каркасных ограждениях жилых зданий. Приведен расчет требуемых толщин стены в составе шлакобето-

IN THE ISSUE

IN DER NUMMER

DANS LE NUMERO

Makotinsky M. P. Polyvinylchloride tiles for floors (to the problem of development and production of finishing materials with the assigned properties)
Kosolapov A. I., Volchenko N. I. Determining technological parameters for quarrying marble blocks by non-explosive breaking means

Lortkipanidze V. D., Mikhelson R. V., Elizbarashvili T. Sh., Lobshantse B. P. Evaluating the efficiency of versions of explosion technology of basalt block preparation

Usachenko B. M., Perepelitsa V. G. Mining of tectonically disturbed areas of gypsum deposits

Melkozerov V. M., Nemtseva T. I. Surface protection of dust-producing materials by means of polymeric film

Dolsenko A. A., Skobelev B. N., Jurjeva O. Kh. Automated system of scientific and technical information on labour protection and environment protection in building material industry

Starchenko G. G. Prevention of sand congelation in railway cars

Merkin A. P., Vitels L. E., Jurmanov S. A., Petrochenkov R. G. Composite PVC—oligomer materials which imitate natural stone

Trubnikov I. L., Lupeiko T. G., Avtushenko N. A., Talpa B. V. Production of large-size expanded thermolythic gravel

Kiselev A. A., Mezhogskikh M. I., Pakhomov A. L. Strength and deformation properties of pressure asbestos cement pipes in case of transverse bending

Euseev Ju. E., Serkov B. P. Window sashes made of the materials based on polyvinylchloride

Saduakassov M. S. The influence of $\text{CaSO}_4 \cdot 2\text{H}_2\text{O}$ on structure formation and strength of foamed gypsum

Pavlykhina E. F., Efremova L. N., Dimakova L. K., Vereshchagina L. S. The peculiarities of using technical lignosulphonates in the production of expanded gravel

Pack N. V. Thermal conductivity of slag concrete

Largin O. I., Borisjuk E. A., Kagan M. Z., Volchenkov M. G., Klibanov A. D. The possibility of using many-component cements in subway construction

Makotinskij M. P. PVC—Fußbodenplatten (Ausarbeitung und Herstellung von Putzmaterialien mit geforderten Eigenschaften)

Kosolapov A. I., Woltschenko N. I. Bestimmung der technologischen Parameter von Marmorblockgewinnung durch nicht explosive zerstörende Mittel
Lortkipanidze V. D., Michelson R. W., Elizbarashvili T. Sch., Lobshantse B. P. Bewertung der Wirksamkeit der Variante der Sprengtechnologie für Basaltblockenausbereitung

Usatschenko B. M., Perepelitsa V. G. Abbau von tektonisch dislozierten und zerstörten Abschnitten von Gipslagerstätten

Melkozerow W. M., Nemzawa T. I. Schutz der Oberfläche von stauberzeugenden Materialien mit Polymerisationsfolie

Dosenko A. A., Skobelev B. N., Jurjeva O. Ch. Automatisiertes System der wissenschaftlich-technischen Information zum Arbeits- und Umweltschutz in der Baustoffindustrie

Startschenko G. G. Vorbeugung des Sandzusammensetzens in Eisenbahnwagen

Merkin A. P., Vitels L. E., Jurmanov S. A., Petroschenkov R. G. Kompositionelle PVC—Oligomerstoffe die den Naturstein imitieren

Trubnikov I. L., Lupeiko T. G., Avtushenko N. A., Talpa B. W. Herstellung von geblähtem Thermolithikum erhöhter Korngröße

Kiselev A. A., Meshogskikh M. I., Pakhomov A. L. Festigkeits- und Verformungseigenschaften von Asbestbetondruckrohren bei Querbiegung

Euseew Ju. E., Serkov B. P. Fensterflügel aus PVC—Stoffen

Saduakassov M. S. Einfluß $\text{CaSO}_4 \cdot 2\text{H}_2\text{O}$ auf die Strukturbildung und Festigkeit des Scheungipses

Pavlykhina E. F., Efremova L. N., Dimakova L. K., Vereschagina L. S. Besonderheiten der Ausnutzung von technischen Lignosulphonaten in Keramitkiesherstellung

Pack N. W. Wärmeleitfähigkeit des Schlackenbetons

Largin O. I., Borisjuk E. A., Kagan M. Z., Volchenkov M. G., Klibanov A. D. Die Möglichkeit der Nutzung von mehrteiligen Zementen für Untergrundbahnbau

Makotinskij M. P. Les carreaux de polyvinylchlorure pour revêtement de sols (la mise au point et la production des matériaux de finition à paramètres donnés)

Kossolapov A. I., Volchenko N. I. Comment déterminer les paramètres technologiques d'extraction de blocs de marbre par moyen destructif sans tirer
Lortkipanidze V. D., Michelson R. W., Elizbarashvili T. Ch., Lobshantse B. P. L'évaluation de l'efficacité des technologies de tir pour préparation de blocs de basalte

Ussatchenko B. M., Perepelitsa V. G. L'expérience de traitement des gisements de gypse à tectonique accidentée

Melkozerov V. M., Nemtseva T. I. La protection des surfaces des matériaux poussiéreux par pellicule en polymère

Dotsenko A. A., Skobelev B. N., Yourtova G. X. Le système automatique d'information scientifique et technique en matière de protection du travail et de l'environnement dans l'industrie de matériaux de construction

Starichenko G. G. Comment prévenir le gel des sables dans les wagons de chemin de fer

Merkin A. P., Vitels L. E., Yourmanov S. A., Petrochenkov R. G. Les matériaux composites imitant la pierre naturelle

Trubnikov I. L., Lupeiko T. G., Avtushenko N. A., Talpa B. W. Le gravier grossier expansif thermolithe

Kisselev A. A., Meshogskikh M. I., Pakhomov A. L. Les paramètres de résistance et de déformation des tuyaux pour transport de l'eau sous pression en amianto-ciment à flexion transversale

Euseev Ju. E., Serkov B. P. Les châssis de fenêtre en matériaux à base de polyvinylchlorure

Saduakassov M. S. L'influence de $\text{CaSO}_4 \cdot 2\text{H}_2\text{O}$ sur la formation de la structure et sur la résistance du plâtre mousse

Pavlykhina E. F., Efremova L. N., Dimakova L. K., Vereschagina L. S. Les particularités de l'utilisation des ligno-sulfonates techniques dans la production du gravier de céramite

Pak N. V. La conductibilité thermique du béton de lattier

Largin O. I., Borisjuk E. A., Kagan M. Z., Volchenkov M. G., Klibanov A. D. La possibilité d'utiliser des ciments composés dans la construction du métro

Редакционная коллегия:

Л. А. МАТИЯХИН (главный редактор), М. Г. РУБЛЕВСКАЯ (зам. главного редактора),
 И. В. АССОВСКИЙ, А. С. БОЛДЫРЕВ, Ю. М. ВИНОГРАДОВ, А. В. ВОЛЖЕНСКИЙ,
 Х. С. ВОРОБЬЕВ, Ю. А. ВОСТРЕЦОВ, Ю. В. ГУДКОВ, Б. К. ДЕМИДОВИЧ, Л. Б. ЗАВАР,
 А. Ю. КАМНИСКАС, Н. М. ЛУКЬЯНЧУК, А. Н. ЛЮСОВ, Б. П. ПАРИМБЕТОВ,
 А. Ф. ПОЛУЯНОВ, С. Д. РУЖАНСКИЙ, Ю. Л. СПИРИН, И. В. УДАЧКИН,
 Н. И. ФИЛИППОВИЧ, Л. С. ЭЛЬКИНД

Адрес редакции:
 Тел.: 204-67-78

103051, Москва, Большой Сухаревский пер., д. 19

Оформление обложки художника

В. А. Андрюсова

Технический редактор Е. Л. Сандурова

Корректор М. Е. Шабадина

Сдано в набор 20.11.89

Подписано в печать 18.12.89

Формат 60×90% Бумага книжно-журнальная

Печать высокая Усл. печ. л. 4,6

Усл. кр.-отт. 6,0 Уч.-изд. л. 5,29

Тираж 16301 экз. Зак. 440 Цена 80 к.

Подольский филиал ПО «Периодика»

Государственного комитета СССР по печати

142110, Подольск, ул. Кирова, д. 26